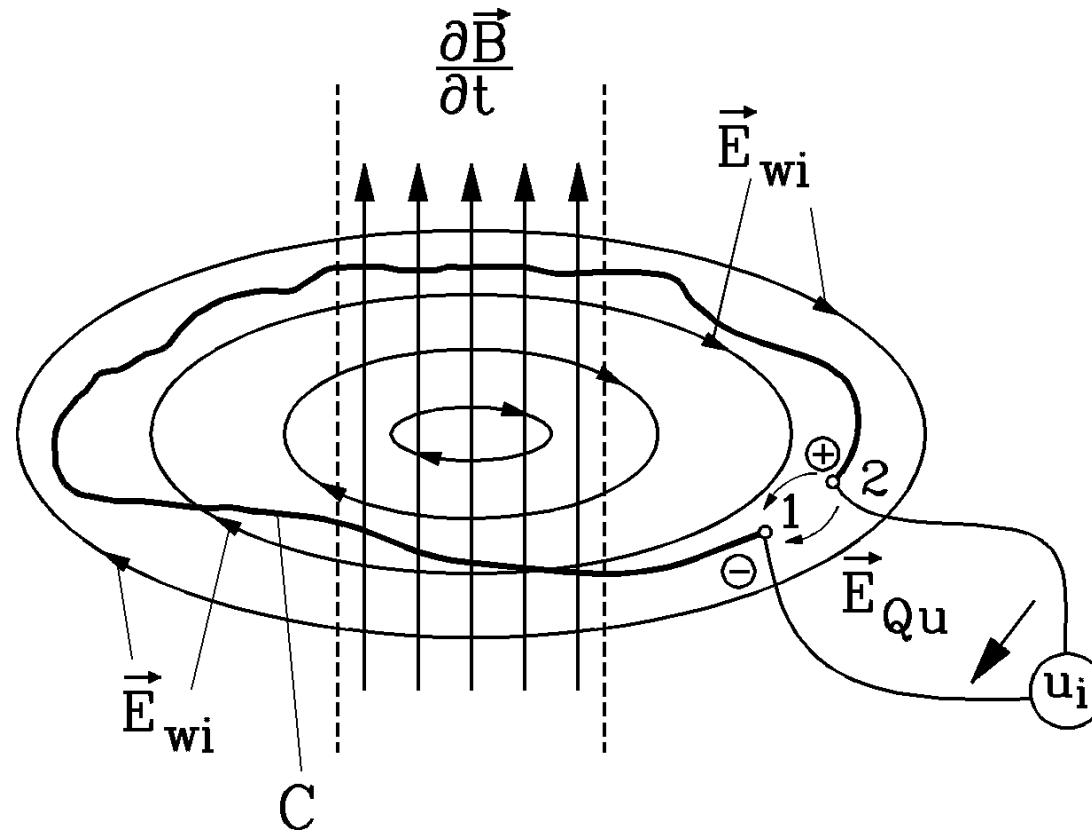


Vorlesungsinhalt

1. Einleitung
2. Drehfelder in elektrischen Maschinen
3. Mathematische Analyse von Luftspaltfeldern
4. **Spannungsinduktion in Drehstrommaschinen**
5. Die Schleifringläufer-Asynchronmaschine
6. Die Kurzschlussläufer-Asynchronmaschine
7. Antriebstechnik mit der Asynchronmaschine
8. Die Synchronmaschine
9. Erregereinrichtungen und Kennlinien
10. Gleichstromantriebe

Spannungsinduktion in Drehstrommaschinen



4. Spannungsinduktion in Drehstrommaschinen

4.1 *FARADAY*'sches Induktionsgesetz (1831)

Wiederholung

4.2 Spannungsinduktion in eine Ständerspule

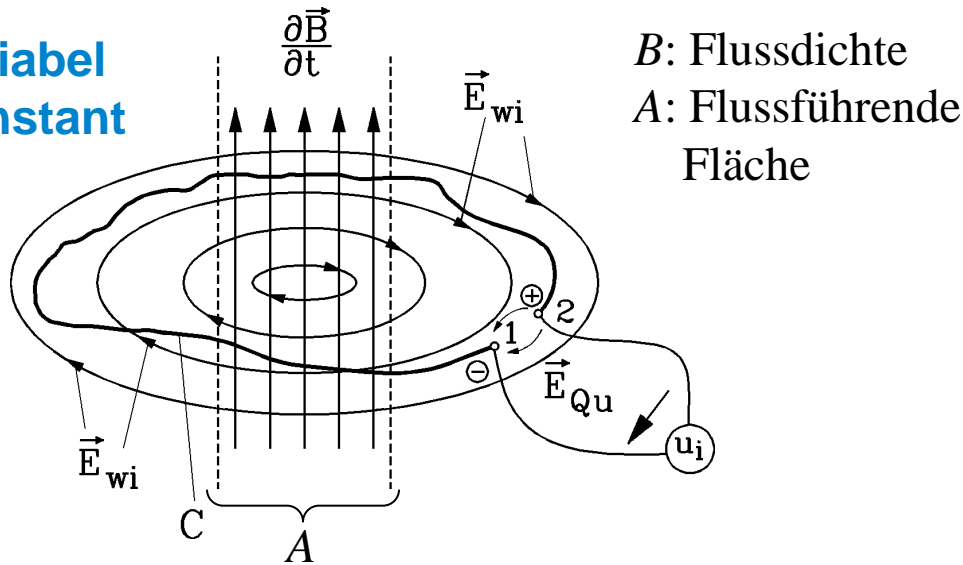
4.3 Spannungsinduktion in eine Drehfeldwicklung

4.4 Selbstinduktivität je Strang einer Drehfeldwicklung

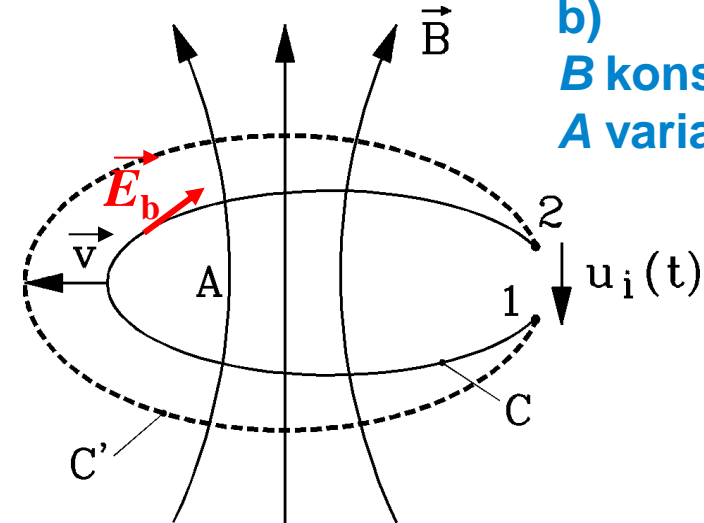
4.5 Gegeninduktivität je Strang zweier Drehfeldwicklungen

Änderung von Φ : a) B ändert sich, b) Fläche A ändert sich mit Geschwindigkeit v

a)
 B variabel
 A konstant



b)
 B konstant
 A variabel



$$u_{Mess,21} = -u_i = d\Phi / dt \Rightarrow u_{Mess,12} = u_i$$

Jede Änderung des mit der Leiterschleife C verketteten Flusses Φ ruft eine induzierte Spannung u_i hervor; die induzierte Spannung ist die negative Änderung des Flusses Φ .

$$u_i = -d\Phi / dt$$

$$\text{Fluss : } \Phi = \int_A \vec{B} \cdot d\vec{A}$$

$$[\Phi] = V \cdot s = \text{Weber}$$

$$u_i = -d\Phi / dt$$

Fluss : $\Phi = \int_A \vec{B} \cdot d\vec{A}$ $[\Phi] = \text{V} \cdot \text{s} = \text{Weber}$

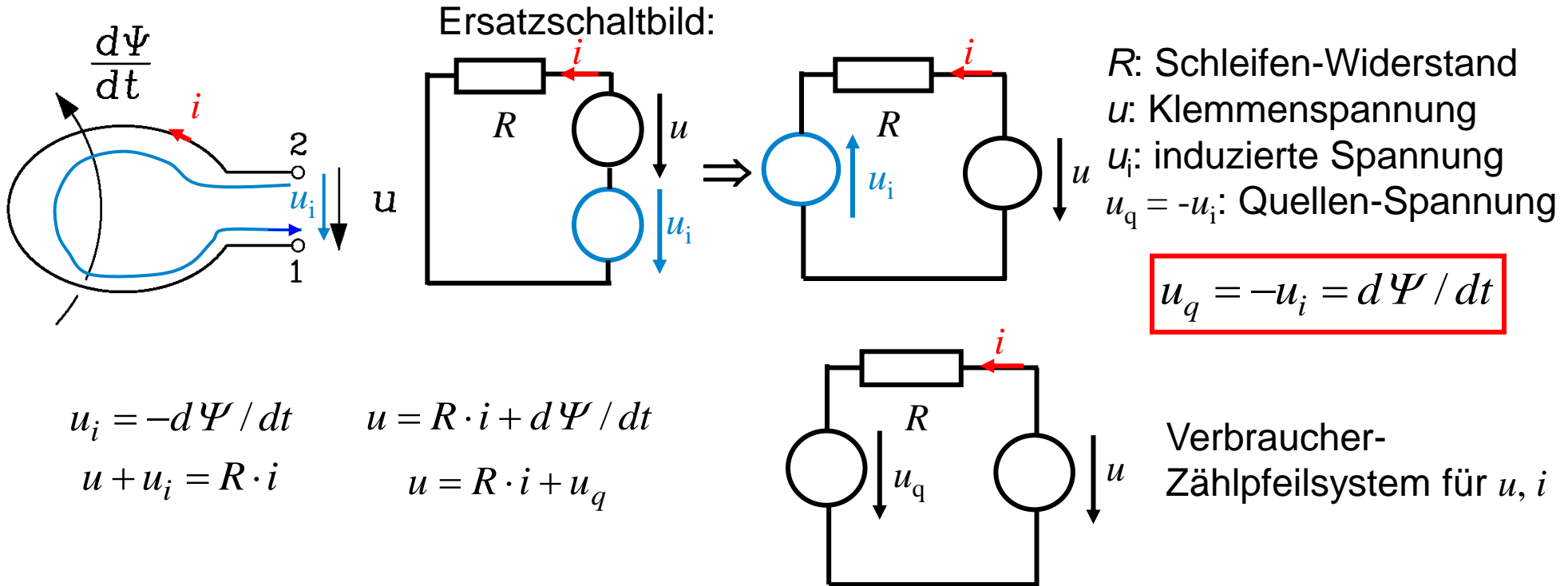
- Hat die Schleife N Windungen in Serie, so ist u_i N -mal so groß: $u_i = -N \cdot d\Phi / dt$.
- **Flussverkettung** $\Psi = N \cdot \Phi \Rightarrow$ $u_i = -d\Psi / dt$ $[\Psi] = \text{V} \cdot \text{s}$
- **Änderung von Ψ** : a) B ändert sich, b) Fläche A ändert sich mit Geschwindigkeit v

$$\bullet \frac{d\Phi}{dt} = \frac{d}{dt} \int_A \vec{B} \cdot d\vec{A} = \int_{A=\text{konst}} \frac{\partial \vec{B}}{\partial t} \cdot d\vec{A} - \oint_C (\vec{v} \times \vec{B}) \cdot d\vec{s} \quad (\text{Produktregel beim Differenzieren})$$

$$u_i = \oint_{N \cdot C} (\vec{E}_{wi} + \vec{E}_b) \cdot d\vec{s} = N \cdot \int_A -\frac{\partial \vec{B}}{\partial t} \cdot d\vec{A} + N \cdot \oint_C (\vec{v} \times \vec{B}) \cdot d\vec{s} = -\frac{d\Psi}{dt}$$

<i>Ruhinduktion</i>	<i>Bewegungsinduktion</i>
Flussdichte B zeitlich veränderlich	Flussdichte B zeitlich konstant
Spule ruht	Spule bewegt sich mit Geschwindigkeit v
$u_i = -d\Psi / dt = -N \cdot d\Phi / dt$	
$u_i = -\partial\Psi / \partial t = \oint \vec{E}_{wi} \cdot d\vec{s}$	$u_i = \oint (\vec{v} \times \vec{B}) \cdot d\vec{s} = \oint \vec{E}_b \cdot d\vec{s}$
Wirbelfeldstärke \vec{E}_{wi} $\text{rot}\vec{E}_{wi} = -\partial\vec{B}/\partial t$	Bewegungsfeldstärke $\vec{E}_b = \vec{v} \times \vec{B}$
Anwendung des Induktionsgesetzes:	
<ul style="list-style-type: none"> • Transformatorspulen • Ständerspulen in Drehfeldmaschinen 	<ul style="list-style-type: none"> • Rotierende Ankerwicklung in Gleichstrommaschinen
<i>Transformatorische Induktion</i>	<i>Rotatorische Induktion</i>

Induktion in eine Leiterschleife - Ersatzschaltbild



$$u_i = -d\Psi / dt$$

$$u + u_i = R \cdot i$$

$$u = R \cdot i + d\Psi / dt$$

$$u = R \cdot i + u_q$$

Beispiel:

a) Leerlaufende Schleife: $i = 0 \Rightarrow u = -u_i = u_q = d\Psi/dt$

b) Leerlauf-Spannungsmessung, $R_{Mess} \gg R$ an 2-1, $u = 0$: $0 + u_i = (R + R_{Mess}) \cdot i$

$$u_{Mess} = u_{21} = -R_{Mess} \cdot i = -u_i \cdot R_{Mess} / (R + R_{Mess}) \approx -u_i \Rightarrow u_{12} = u_i$$

Induktionsgesetz als "LENZ'sche Regel"

Wiederholung



TECHNISCHE
UNIVERSITÄT
DARMSTADT

Der von der induzierten Spannung u_i getriebene Strom $i_k = -i$ erregt ein Eigenfeld B_e , das der Ursache von u_i , nämlich der Flussverkehtungsänderung, entgegen wirkt.

Beispiel:

Ruhinduktion: Kurzgeschlossene ruhende Spule:

- Das zeitlich veränderliche Fremdfeld B nimmt von unten nach oben durch die Schleifenfläche A zu und **induziert** die Wirbelfeldstärke E_{wi}
- Die **linkswendig** mit $\partial \vec{B} / \partial t$ verkettete Feldstärke E_{wi} treibt in C einen **Kurzschlussstrom** $i_k = -i$.
- Strom i_k erregt (**Durchflutungssatz !**) ein **rechtswendig** mit i_k verkettetes **Eigenfeld** B_e .

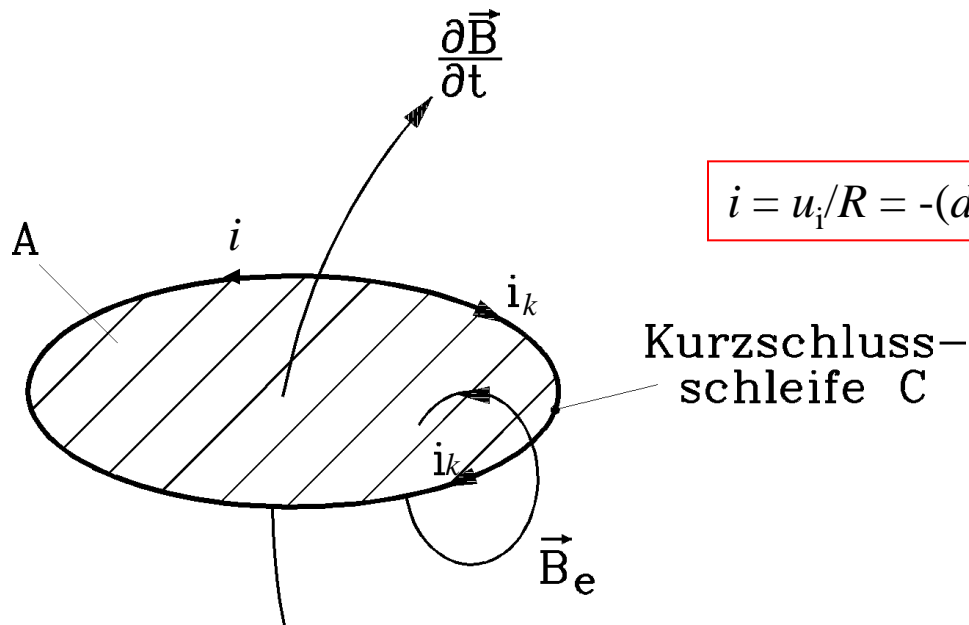
B_e ist der Ursache von u_i , nämlich der Feldänderung $\partial \vec{B} / \partial t$ entgegen gerichtet.



Induzierung einer Kurzschluss-Schleife

Beispiel:

Kurzgeschlossene Schleife: $u = 0 \Rightarrow i = u_i/R = -u_q/R = -(d\Psi/dt)/R$ NEGATIVER Strom!



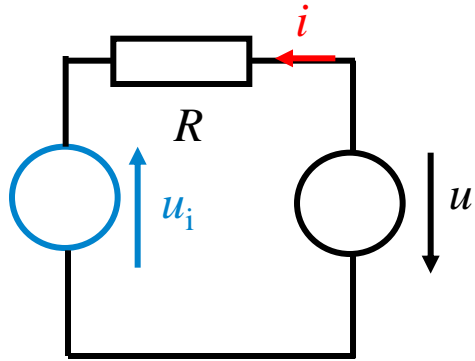
$$i = u_i/R = -(d\Psi/dt)/R \text{ NEGATIVER Strom!}$$

Kurzschluss-Strom: $i_k = -i$

Das Feld $B_e(i_k)$ bremst die resultierende Feldänderung = „Magnetische Trägheit“!

Induktion in eine Leiterschleife - Ersatzschaltbildvarianten

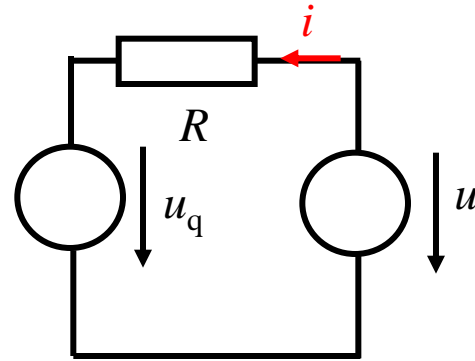
Wiederholung



u_i : Induzierte Spannung

$$u_i = -d\Psi / dt$$

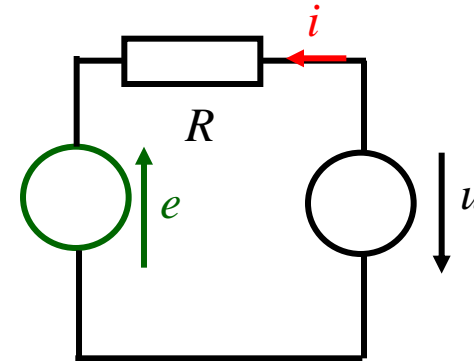
$$\sum_k u_k = 0 = u + u_i - R \cdot i$$



u_q : Quellen-Spannung

$$u_q = d\Psi / dt$$

$$\sum_k u_k = 0 = u - u_q - R \cdot i$$



e : „Elektromotorische Kraft“ (EMK)

$$e = d\Psi / dt$$

$$\sum_k u_k = \sum_k e_k \Rightarrow u - R \cdot i = e$$

Verbraucher-
Zählpeilsystem
für u, i

$$u_q = -u_i = e = d\Psi / dt$$

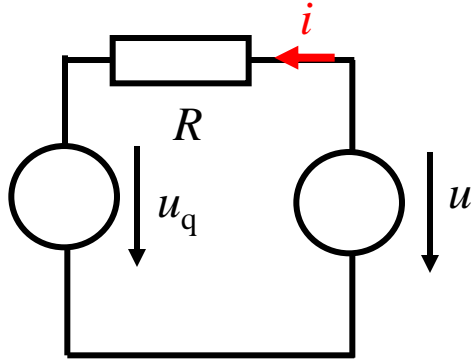
$$u = R \cdot i + d\Psi / dt$$

R : Schleifen-Widerstand
 u : Klemmenspannung

Wir verwenden im ESB die „Quellenspannung“,
bezeichnen sie aber auch (wie in manchen Lehrbüchern üblich) mit „ u_i “ (also $d\Psi/dt$) !

Induzierte Spannung – Selbst- und Gegeninduktion

Ersatzschaltbild: Verbraucher-Zählpeilsystem für $u, i = i_1$



$$u = R \cdot i + d\Psi / dt$$

$$u_q = -u_i = d\Psi / dt$$

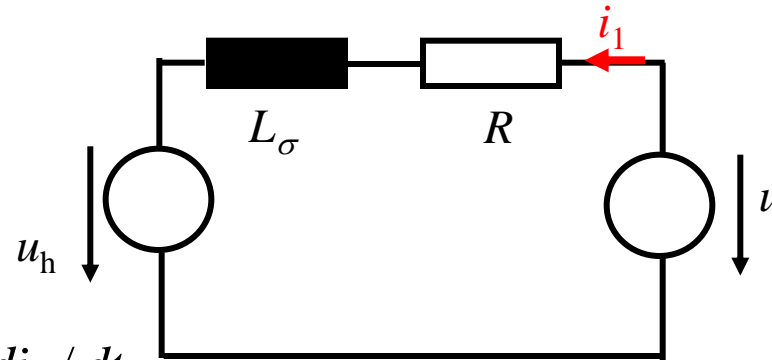
L : **Selbst**induktivität

M : **Gegen**induktivität eines Fremdstromsystems i_2

Gesamtflussverkettung der Schleife: $\Psi = L \cdot i_1 + M \cdot i_2$

Streuinduktivität: $L_\sigma = L - M$

Hauptfeldspannung: $u_h = M \cdot d(i_1 + i_2) / dt$



Hauptflussverkettung:

$$\Psi_h = M \cdot (i_1 + i_2)$$

Streuflussverkettung:

$$\Psi_\sigma = L_\sigma \cdot i_1$$

$$u_q = d\Psi / dt = L \cdot di_1 / dt + M \cdot di_2 / dt$$

$$u_q = (L - M) \cdot di_1 / dt + M \cdot d(i_1 + i_2) / dt$$

$$u_q = d\Psi_\sigma / dt + d\Psi_h / dt$$

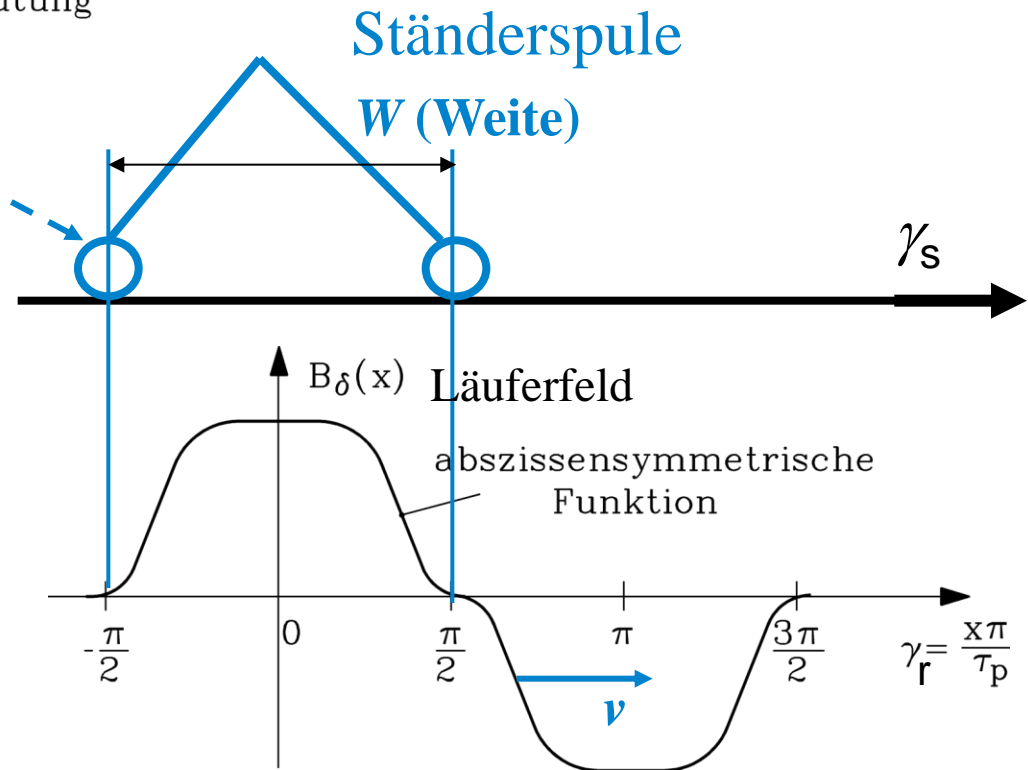
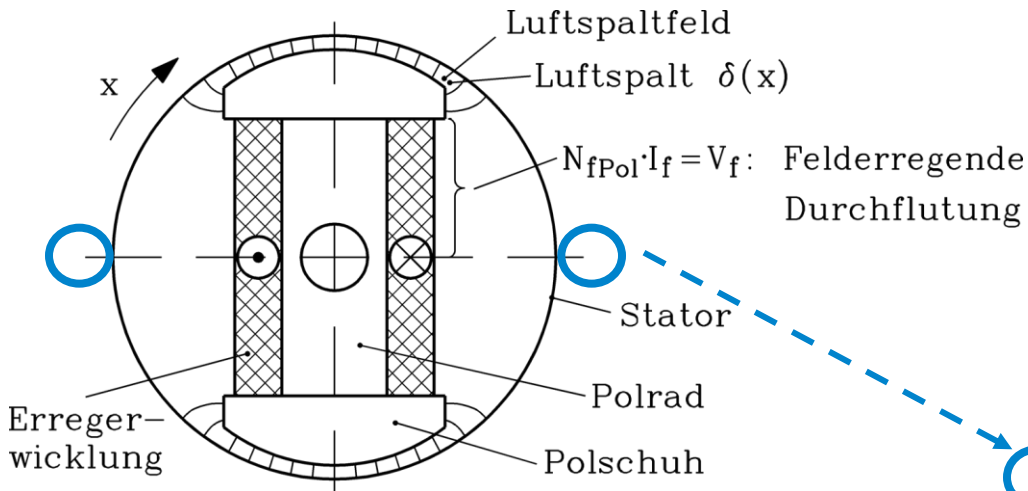
$$u = R \cdot i_1 + L_\sigma \cdot di_1 / dt + u_h$$

Zusammenfassung: **FARADAY'sches Induktionsgesetz (1831)**

- Allgemeines Induktionsgesetz:
Induzierte Spannung $u_i = \text{negative Änderung der Flussverkettung } \Psi$
- Ruh- und Bewegungsinduktion als zwei Sonderformen, auch „Transformatorische“ und „rotatorische“ Spannungsinduktion genannt
- *Lenz'sche Regel*: „Bremsende“ Wirkung des Magnetfelds B_e , das vom Strom i erregt wird, der zufolge der induzierten Spannung u_i fließt

4. Spannungsinduktion in Drehstrommaschinen
 - 4.1 *FARADAY*'sches Induktionsgesetz (1831)
 - 4.2 **Spannungsinduktion in eine Ständerspule**
 - 4.3 Spannungsinduktion in eine Drehfeldwicklung
 - 4.4 Selbstinduktivität je Strang einer Drehfeldwicklung
 - 4.5 Gegeninduktivität je Strang zweier Drehfeldwicklungen

Gegeninduktion: Spannungsinduktion in Ständer-Spulen durch ein gleichstromerregtes Läuferfeld (Polradfeld)

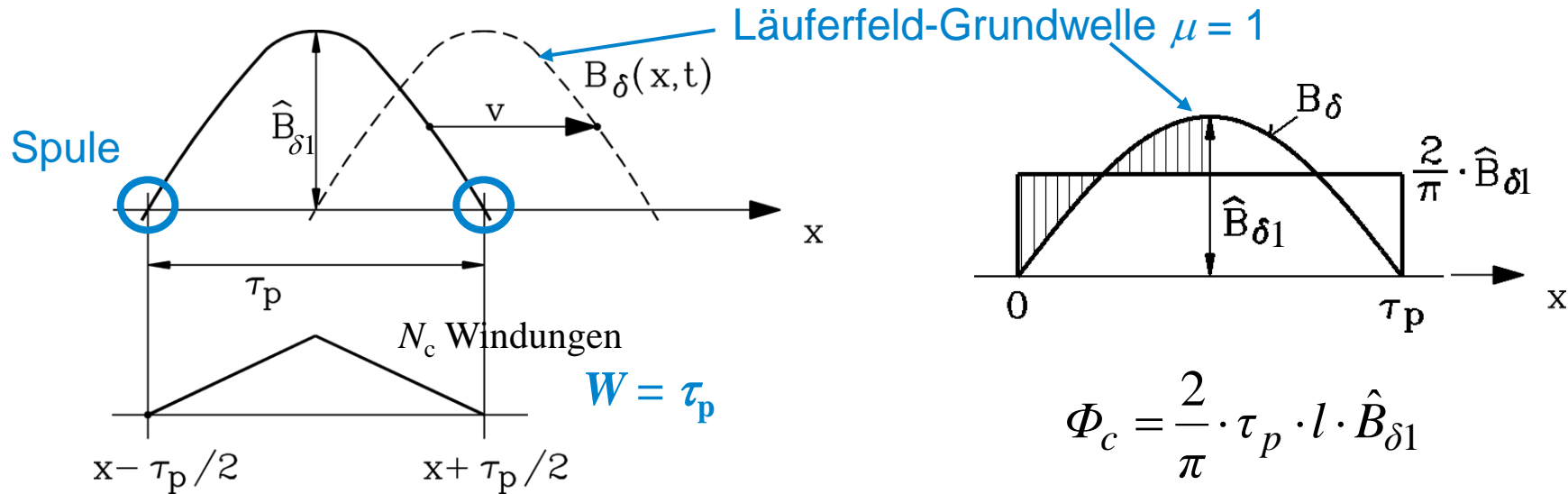


- $2p$ -poliges Polrad dreht mit der Drehzahl n (Umfangs-Geschwindigkeit v)
- Mit der Ständerspule verketteter Polradfluss Ψ ändert bei einer Polrad-Umdrehung $2p$ -mal seine Polarität.

⇒ Frequenz der in der Ständerspule induzierten Spannung:

$$f = n \cdot p$$

Grundwellen-Flussverkettung in ungeschichtete Ständerspule



- Sinus-Wanderwelle $B_{\delta 1}(x,t) = \hat{B}_{\delta 1} \cdot \cos(x\pi / \tau_p - \omega t)$ bewirkt Spulenwechselfluss $\Phi_c(t)$

$$\Phi_c(t) = l \int_{-\tau_p/2}^{\tau_p/2} B_{\delta 1}(x,t) \cdot dx = \underbrace{\frac{2}{\pi} \cdot \tau_p \cdot l \cdot \hat{B}_{\delta 1}}_{\Phi_c} \cdot \underbrace{\sin(\pi/2)}_{k_{p1}} \cdot \cos \omega t = \Phi_c \cdot k_{p1} \cdot \cos \omega t = \Phi_{c1} \cdot \cos \omega t$$

Wechselflussverkettung $\Psi_c(t) = N_c \cdot \Phi_c(t)$

Grundwellen-Fluss in einer ungesehnten Ständerspule

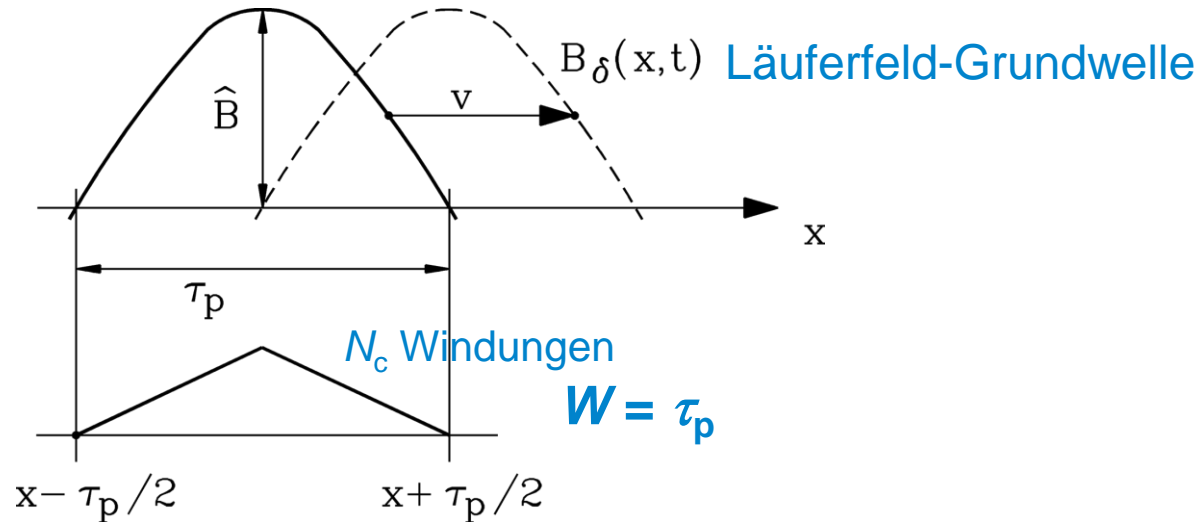
Herleitung

$$\begin{aligned}\Phi(t) &= \int_{-\tau_p/2}^{\tau_p/2} l \cdot B_{\delta 1}(x, t) \cdot dx = \int_{-\tau_p/2}^{\tau_p/2} l \cdot \hat{B}_{\delta 1} \cdot \cos(x\pi / \tau_p - \omega t) \cdot dx = \\ &= \int_{-\pi/2}^{\pi/2} l \cdot \frac{\tau_p}{\pi} \cdot \hat{B}_{\delta 1} \cdot \cos(\gamma - \omega t) \cdot d\gamma = l \cdot \frac{\tau_p}{\pi} \cdot \hat{B}_{\delta 1} \cdot \sin(\gamma - \omega t) \Big|_{-\pi/2}^{\pi/2} = \\ &= l \cdot \frac{\tau_p}{\pi} \cdot \hat{B}_{\delta 1} \cdot \left(\sin\left(\frac{\pi}{2} - \omega t\right) - \sin\left(-\frac{\pi}{2} - \omega t\right) \right) = \underbrace{\frac{2}{\pi} \cdot \tau_p \cdot l \cdot \hat{B}_{\delta 1} \cdot \sin(\pi/2)}_{\Phi_{c1}} \cdot \cos \omega t = \Phi_{c1} \cdot \cos \omega t\end{aligned}$$

$$W = \tau_p : k_{p1} = \sin\left(\frac{W}{\tau_p} \cdot \frac{\pi}{2}\right) = \sin(\pi/2) = 1$$

$$\Phi_{c1} = \frac{2}{\pi} \cdot \tau_p \cdot l \cdot \hat{B}_{\delta 1} \cdot k_{p1}$$

Grundwellen-Spannungsinduktion in ungesehnte Ständerspule



$$\Psi_c(t) = N_c \cdot \Phi_c(t) \Rightarrow -d\Psi_c / dt = -d(N_c \cdot \Phi_{c1} \cdot \cos \omega t) = \omega \cdot N_c \cdot \Phi_{c1} \cdot \sin \omega t$$

- **Induzierte Spulen-Sinus-Wechselspannung:** $u_{i,c}(t) = -d\Psi_c(t) / dt = \hat{U}_{i,c} \cdot \sin \omega t$

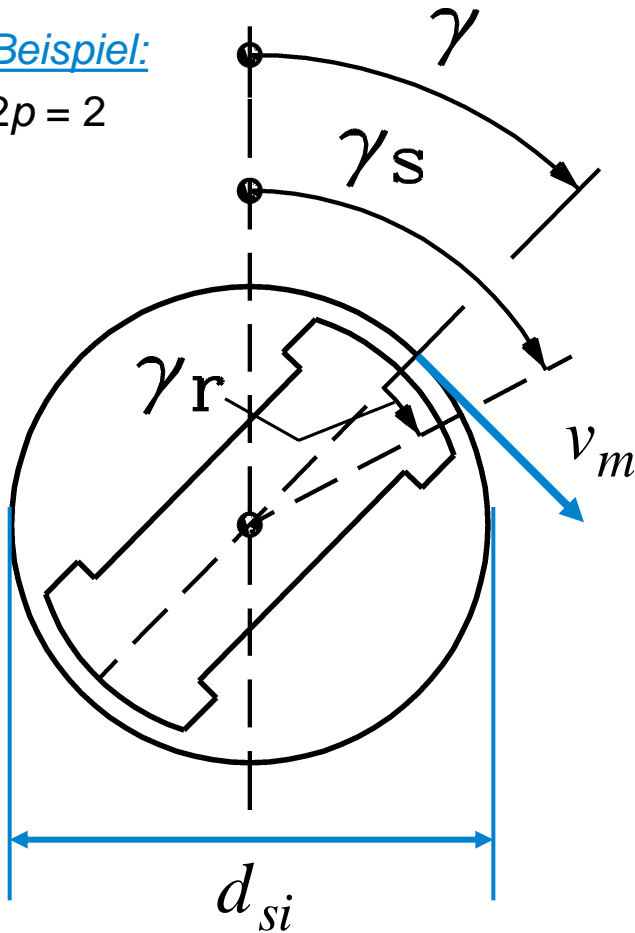
- **Amplitude:** $\hat{U}_{i,c} = \omega \cdot N_c \cdot \Phi_{c1} = 2\pi \cdot f \cdot N_c \cdot \frac{2}{\pi} \cdot \tau_p \cdot l \cdot \hat{B}_{\delta 1} \cdot k_{p1}$

ungesehnte Spule: $k_{p1} = \sin(\pi/2) = 1$

Ständer- und läuferfestes Koordinatensystem

Beispiel:

$$2p = 2$$



$\gamma_s(t)$: Umfangswinkel im ständerfesten Koordinatensystem

$\gamma_r(t)$: Umfangswinkel im läuferfesten Koordinatensystem

„elektrische Grade“: $2p\tau_p = p \cdot 2\tau_p \Leftrightarrow p \cdot 2\pi$

Umrechnung des Umfangswinkels vom läuferfesten in das ständerfeste Koordinatensystem („**Galilei-Transformation**“):

$$\gamma_s(t) = \gamma_r + \gamma(t) = \gamma_r + p \cdot \Omega_m \cdot t$$

$$\Omega_m = 2\pi \cdot n = \frac{v_m}{d_{si}/2}$$

$$p\Omega_m = 2\pi \cdot n \cdot p = 2\pi \cdot f = \omega$$

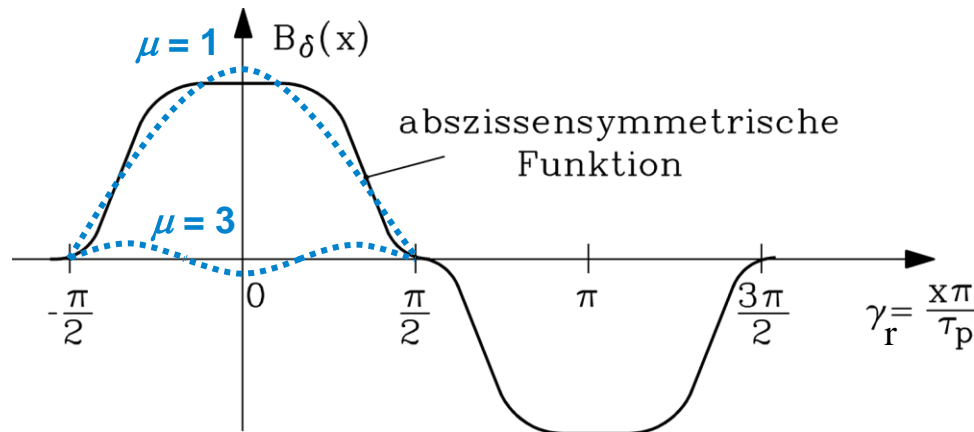
Feldwelle des gleichstromerregten Polradfelds

$$\mu = 1, 3, 5, 7, 9, \dots$$

$$B_{\delta\mu}(\gamma_r) = \hat{B}_{\delta\mu} \cdot \cos(\mu\gamma_r) = \hat{B}_{\delta\mu} \cdot \cos(\mu\gamma_s - \mu p \Omega_m t) = \hat{B}_{\delta\mu} \cdot \cos\left(\frac{\mu\pi x}{\tau_p} - \omega_\mu t\right)$$

Läuferfester Umfangswinkel γ_r

Ständerfester Umfangswinkel γ_s



γ_r : Rotorfester Umfangswinkel

$$\omega_\mu = \mu \cdot \omega$$

$$f_\mu = \frac{\omega_\mu}{2\pi} = \frac{\mu \cdot p \cdot \Omega_m}{2\pi} = \mu \cdot p \cdot n = \mu \cdot f$$

Frequenz der μ -ten Läuferfeld-Oberwelle f_μ bezüglich dem Ständer μ -mal so groß wie jene der Grundwelle mit $\mu = 1$.

Oberwellen-Spannungsinduktion in ungesehnte Ständerspule

- Rotierendes Läuferfeld (Drehzahl n): = *FOURIER*-Summe von **Grund-** und **Oberwellen**:

$$B_{\delta,\mu}(x,t) = \hat{B}_{\delta\mu} \cdot \cos\left(\frac{\mu x \pi}{\tau_p} - \mu \cdot \omega \cdot t\right), \quad \mu = 1, 3, 5, 7, \dots \quad \omega = 2\pi \cdot n \cdot p$$

- Spulen-Wechsel-Fluss $\Phi_{c\mu}(t) = l \int_{-\tau_p/2}^{\tau_p/2} B_{\delta,\mu}(x,t) dx = \frac{2}{\pi} \cdot \frac{\tau_p}{\mu} l \hat{B}_{\delta\mu} \cdot \overbrace{\sin\left(\frac{\mu\pi}{2}\right)}^{k_{p\mu}, W/\tau_p=1} \cdot \cos(\mu\omega t)$
(bei $W = \tau_p$)

- Induzierte Spannung: $u_{i,c,\mu} = -N_c \cdot \frac{d\Phi_{c\mu}}{dt} = \mu \cdot \omega \cdot N_c \cdot \frac{2}{\pi} \cdot \frac{\tau_p}{\mu} \cdot l \cdot \hat{B}_{\delta\mu} \cdot k_{p\mu} \cdot \sin(\mu\omega t)$

$$\hat{U}_{i,c,\mu} = \cancel{\mu} \cdot \omega \cdot N_c \cdot \frac{2}{\pi} \cdot \frac{\tau_p}{\cancel{\mu}} \cdot l \cdot \hat{B}_{\delta\mu} \cdot k_{p\mu} \sim \hat{B}_{\delta\mu} \cdot k_{p\mu}$$

⇒ In die Ständerspule wird nicht nur die "Nutz"-Spannung (Frequenz $f = n \cdot p$) durch die Grundwelle $\mu = 1$ induziert, sondern auch Zusatz-Störspannungen mit kleineren Amplituden, aber höheren Frequenzen, durch die Oberwellen ($\mu > 1$).

$$\Phi_{c\mu} = \frac{2}{\pi} \cdot \frac{\tau_p}{\mu} \cdot l \cdot \hat{B}_{\delta\mu} \cdot k_{p\mu} \Rightarrow \hat{U}_{i,c,\mu} = \mu \cdot \omega \cdot N_c \cdot \Phi_{c\mu} = \omega \cdot N_c \cdot \frac{2}{\pi} \cdot \tau_p \cdot l \cdot \hat{B}_{\delta\mu} \cdot k_{p\mu}$$

- **Kleinere** Spannungs-Amplitude $\hat{U}_{i,c,\mu}$ proportional $k_{p\mu} \cdot \hat{B}_{\delta\mu}$

ABER: deutlich höhere Frequenz $f_\mu = \mu \omega / (2\pi)$!

- **Ungesehnte Spule:**

Sehnungsfaktor: $W = \tau_p$: $k_{p\mu} = \sin\left(\mu \cdot \frac{W}{\tau_p} \cdot \frac{\pi}{2}\right) = \sin(\mu\pi/2) = (-1)^{(\mu-1)/2}$

mit $\mu = 1, 3, 5, \dots$

ist *nur* 1, -1, 1, -1,

Sehnungsfaktor ändert nur das Vorzeichen (= Phasenlage 180° statt 0°),

aber nicht die Amplitude $\hat{U}_{i,c,\mu}$

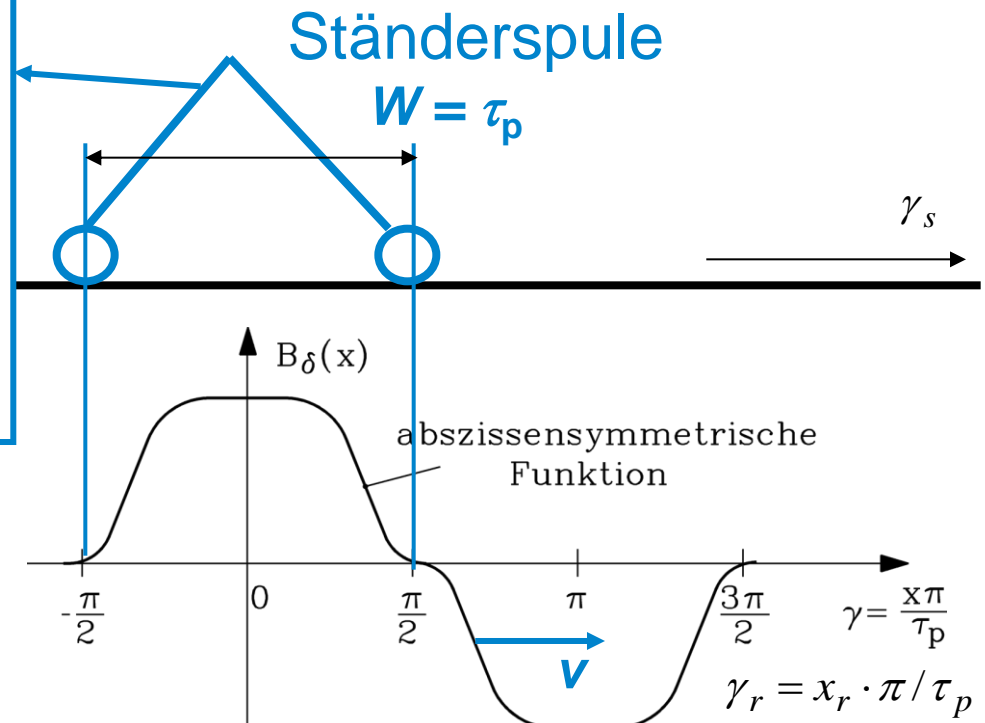
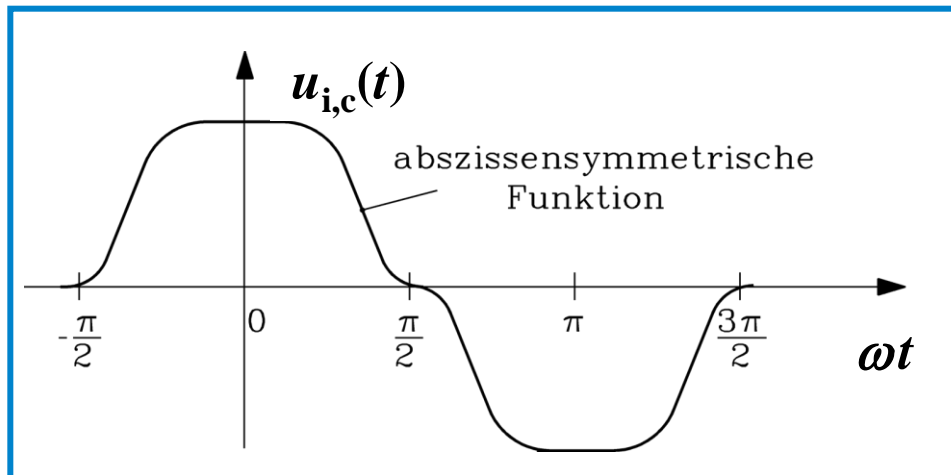
Beispiel: Induzierte Spulen-Spannung (Synchrongenerator)

- Zwölfpoliger Synchrongenerator: $n = 500/\text{min}$, $2p = 12$, Ständerspule $N_c = 2$, $W = \tau_p = 0.5 \text{ m}$, $l = 1 \text{ m}$
- Grundfrequenz der induzierten Spannung: $f = n \cdot p = (500 / 60) \cdot 6 = 50 \text{ Hz}$
- Läuferfluss in der Spule je Ordnungszahl μ : $\Phi_{c\mu} \sim \hat{B}_{\delta\mu} \cdot k_{p\mu} / \mu$, $W / \tau_p = 1 \Rightarrow |k_{p\mu}| = 1$
- Induzierte Spannung bei gegebenen Feld-Amplituden $\hat{B}_{\delta\mu}$ des Läuferfelds: $U_{i,c\mu} \sim \hat{B}_{\delta\mu} \cdot k_{p\mu}$

μ	$\hat{B}_{\delta\mu}$	$\hat{B}_{\delta\mu} / \hat{B}_{\delta 1}$	f_μ	$\Phi_{c\mu}$	$U_{i,c\mu} = \hat{U}_{i,c\mu} / \sqrt{2}$	$ \hat{U}_{i,c\mu} / \hat{U}_{i,c1} $
-	T	%	Hz	mWb	V	%
1	0.9	100	50	286.5	127.2	100
3	0.15	16.7	150	-15.9	-21.2	16.7
5	0.05	5.6	250	3.3	7.1	5.6
7	0.05	5.6	350	-2.3	-7.1	5.6

- In einer **ungesehnten Spule** ($k_{p\mu} = \pm 1$) ist die induzierte Spannungskurvenform identisch mit der induzierenden Feldkurvenform !

Gegeninduktion: Räumlicher Luftspaltfeldverlauf $B_\delta(x)$ und zeitlicher Verlauf $u_{i,c}(t)$ der induzierten Spannung sind bei einer ungesehnten Spule IDENTISCH!



Zusammenfassung: Spannungsinduktion in eine Ständerspule

- Induktion in eine ruhende Spule mit der Weite $W =$ Polteilung τ_p
- Induzierte Spannungskurvenform = räumliche Form der Radialfeldkurve
- Beweis wurde über *FOURIER*-Reihe der Feldverteilung geführt

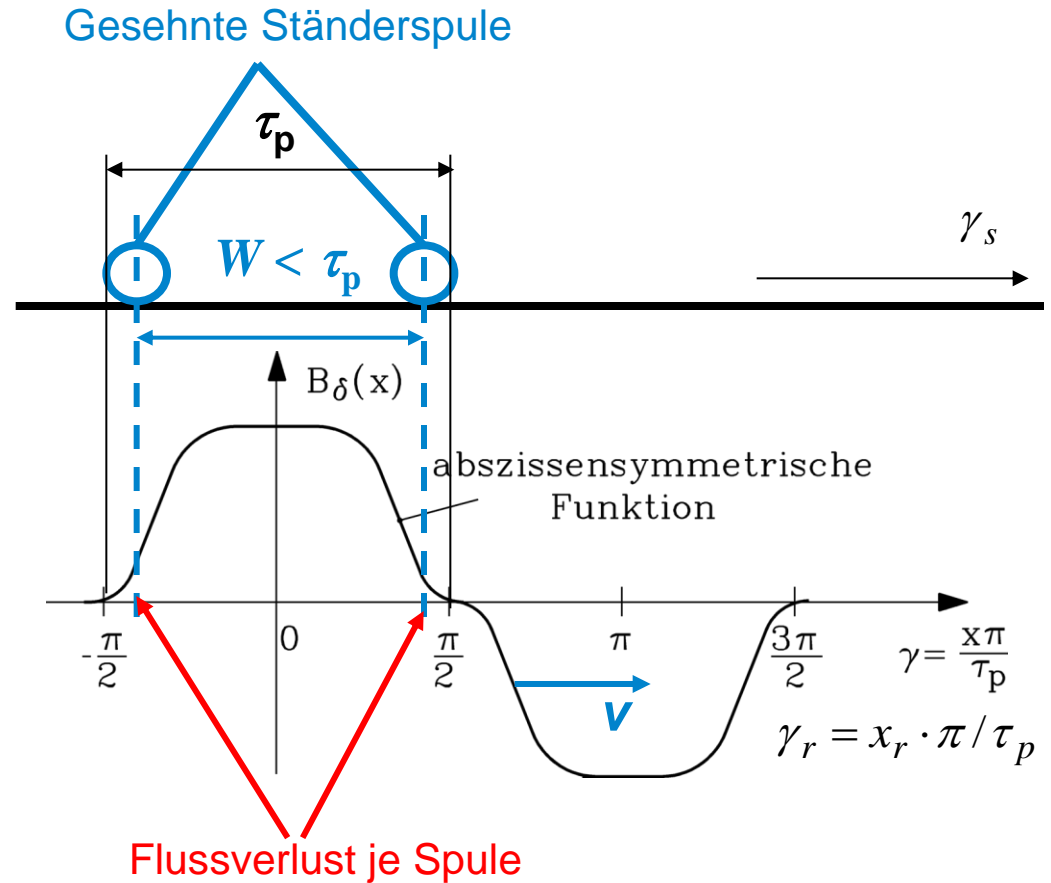
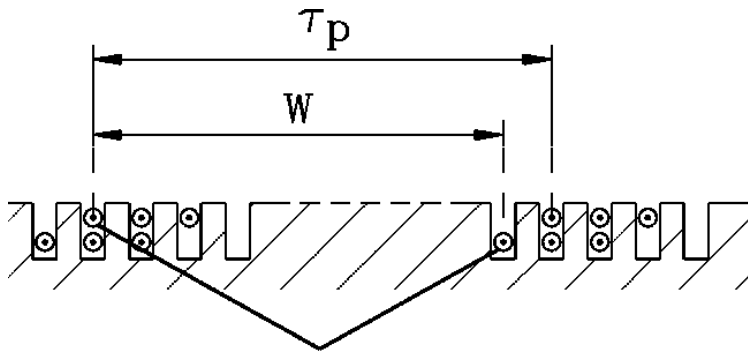
4. Spannungsinduktion in Drehstrommaschinen
 - 4.1 *FARADAY*’sches Induktionsgesetz (1831)
 - 4.2 Spannungsinduktion in eine Ständerspule
 - 4.3 Spannungsinduktion in eine Drehfeldwicklung
 - 4.4 Selbstinduktivität je Strang einer Drehfeldwicklung
 - 4.5 Gegeninduktivität je Strang zweier Drehfeldwicklungen

Spannungsinduktion in gesehnte Spule (1)

Sehnung: Spulenweite $W \neq \tau_p$:

Beispiel:

$$m = 3, q = 3, W/\tau_p = 8/9$$



Spannungsinduktion in gesehnte Spule (2)

Sehnung: Spulenweite $W \neq \tau_p$:

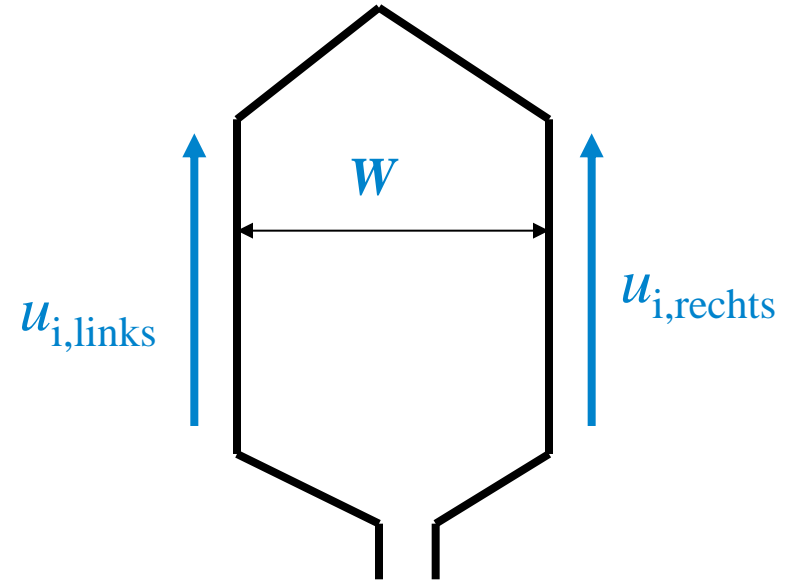
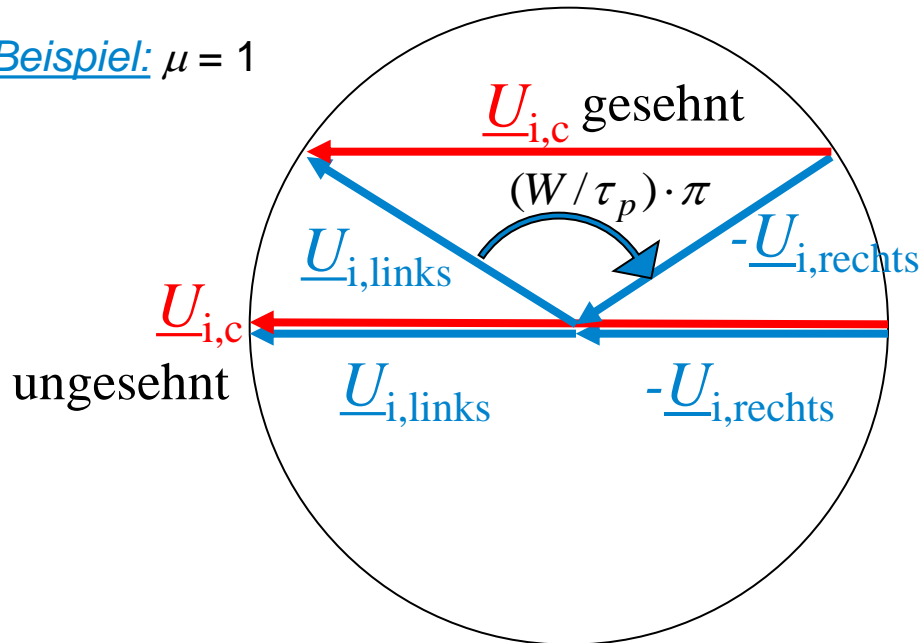
$$\begin{aligned}\Phi_{c\mu}(t) &= \int_{-W/2}^{W/2} l \cdot \hat{B}_{\delta\mu} \cdot \cos\left(\frac{\mu \cdot \pi \cdot x}{\tau_p} - \mu \cdot \omega \cdot t\right) \cdot dx = \int_{-\frac{W}{\tau_p} \cdot \frac{\pi}{2}}^{\frac{W}{\tau_p} \cdot \frac{\pi}{2}} l \cdot \frac{\tau_p}{\pi} \cdot \hat{B}_{\delta\mu} \cdot \cos(\mu \cdot \gamma - \mu \cdot \omega \cdot t) \cdot d\gamma = \\ &= \frac{2}{\pi} \cdot \frac{\tau_p}{\mu} \cdot l \cdot \hat{B}_{\delta\mu} \cdot \sin\left(\mu \cdot \frac{\pi}{2} \cdot \frac{W}{\tau_p}\right) \cdot \cos(\mu \cdot \omega \cdot t) = \frac{2}{\pi} \cdot \frac{\tau_p}{\mu} \cdot l \cdot \hat{B}_{\delta\mu} \cdot k_{p,\mu} \cdot \cos(\mu \cdot \omega \cdot t) = \Phi_{c\mu} \cdot \cos(\mu \cdot \omega \cdot t)\end{aligned}$$

Verketteter Fluss ist um den **Sehnungsfaktor** $k_{p,\mu}$ kleiner als bei der ungesehenen Spule.

$$k_{p,\mu} = \sin\left(\mu \cdot \frac{\pi}{2} \cdot \frac{W}{\tau_p}\right)$$

Spannungsinduktion in gesehnte Spule (3)

Beispiel: $\mu = 1$



$$u_{i,c} = u_{i,links} - u_{i,rechts}$$

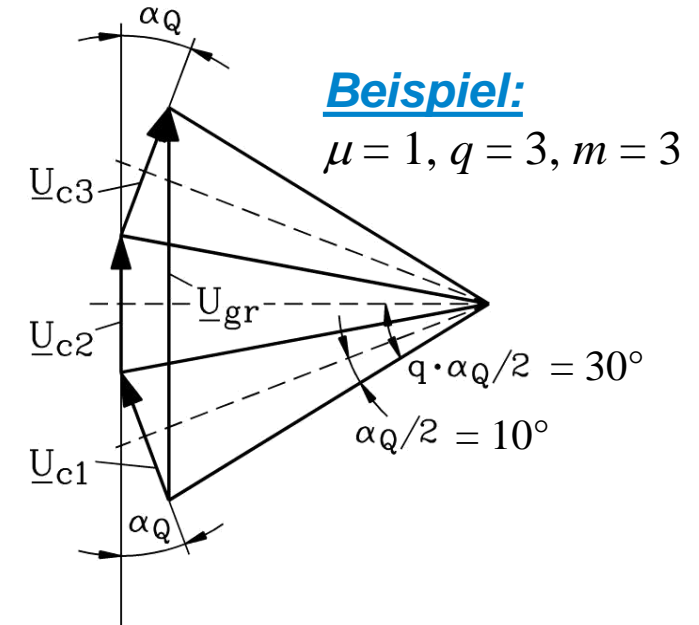
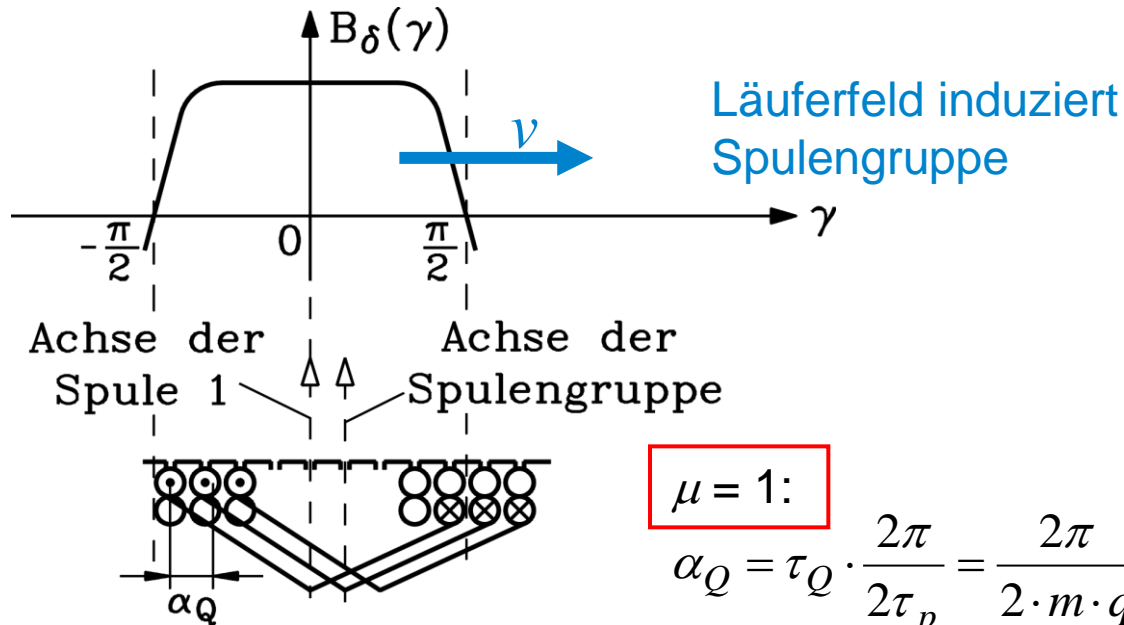
- Phasenverschiebung zwischen den induzierten Spannungen der linken und rechten Spulenseite:

a) ungeseht: π b) geseht: $(W/\tau_p) \cdot \pi$

- **Sehnungsfaktor:** $k_{p,1} = \frac{U_{i,c}}{U_{i,links} + U_{i,rechts}} = \frac{2 \cdot \sin\left(\frac{W}{\tau_p} \cdot \frac{\pi}{2}\right)}{2} = \sin\left(\frac{W}{\tau_p} \cdot \frac{\pi}{2}\right)$

$$k_{p,1} = \sin\left(\frac{\pi}{2} \cdot \frac{W}{\tau_p}\right)$$

Spannungsinduktion in eine Spulengruppe



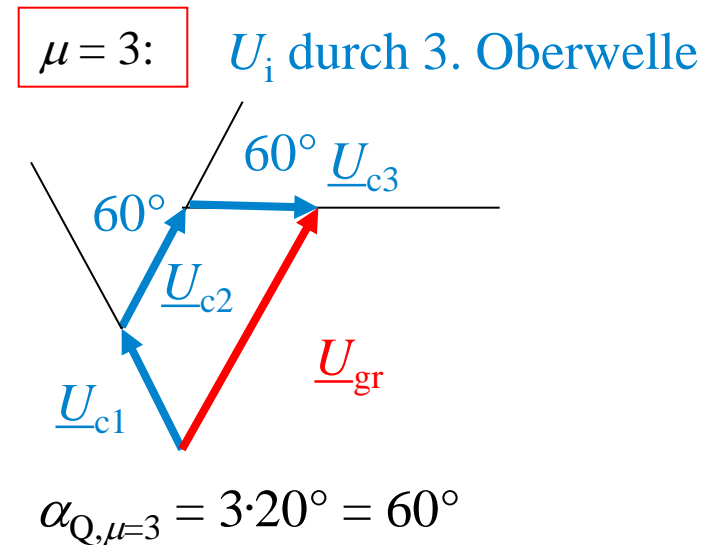
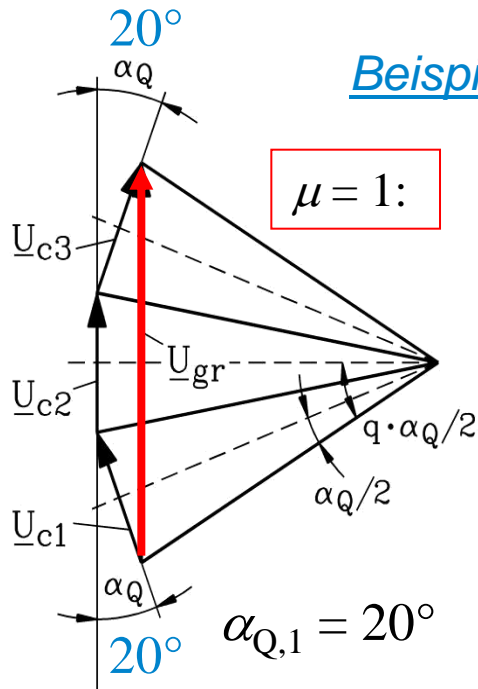
- Die **induzierte Spannung je Spulengruppe** ist die geom. Summe aus q Spulenspannungen, die um den Phasenwinkel $\alpha_{Q,\mu} = \mu \cdot 2\pi / (2 \cdot m \cdot q)$ phasenverschoben sind:

- Zonenfaktor:**

$$k_{d,\mu} = \frac{\hat{U}_{i,gr,\mu}}{q \cdot \hat{U}_{i,c,\mu}} = \frac{2 \cdot \sin\left(q \cdot \frac{\alpha_{Q,\mu}}{2}\right)}{q \cdot 2 \cdot \sin\left(\frac{\alpha_{Q,\mu}}{2}\right)} = \frac{\sin\left(\mu \cdot \frac{\pi}{2m}\right)}{q \cdot \sin\left(\mu \cdot \frac{\pi}{2m \cdot q}\right)}$$

Zonenfaktor $k_{d,\mu}$ bei Oberwelleninduktion $\mu > 1$

Beispiel: $q = 3, m = 3, \alpha_Q = 180^\circ / (m \cdot q) = 180^\circ / 9 = 20^\circ$



Das Verhältnis von U_{gr} zur Summe der Spulen-Spannungszeiger U_c ist bei den Oberwellen (bis auf die Nutharmonischen) **deutlich kleiner** als bei der Grundwelle.

$$k_{d,1} = \frac{\hat{U}_{i,gr,1}}{3\hat{U}_{i,c,1}} = \frac{2 \sin\left(3 \frac{20^\circ}{2}\right)}{3 \cdot 2 \sin\left(\frac{20^\circ}{2}\right)} = 0.9598$$

$$k_{d,3} = \frac{\hat{U}_{i,gr,3}}{3\hat{U}_{i,c,3}} = \frac{2 \sin\left(3 \frac{60^\circ}{2}\right)}{3 \cdot 2 \sin\left(\frac{60^\circ}{2}\right)} = 0.6667$$

Gegeninduktion: Spannungsinduktion in einen Wicklungsstrang

- $2p$ -polige Maschine,
- **Zweischichtwicklung**: $2p$ Spulengruppen mit je q gesehten Spulen.
- Induzierte Spannung je Strang (Effektivwert) durch **Läufergrundwelle**:

$$U_{i1} = \sqrt{2} \cdot \pi \cdot f \cdot N \cdot k_{w1} \cdot \frac{2}{\pi} \tau_p \cdot l \cdot \hat{B}_{\delta 1}$$

$$N = 2p \cdot q \cdot N_c / a$$

$$k_{w1} = k_{d1} \cdot k_{p1}$$

- Induzierte Spannung je Strang (Effektivwert) durch **μ -te Läuferoberwelle**:

$$U_{i,\mu} = \sqrt{2} \cdot \pi \cdot \mu \cdot f \cdot N \cdot k_{w,\mu} \cdot \frac{2}{\pi} \cdot \frac{\tau_p}{\mu} \cdot l \cdot \hat{B}_{\delta \mu}$$

$$\frac{U_{i,\mu}}{U_{i1}} = \frac{k_{w,\mu} \cdot \hat{B}_{\delta \mu}}{k_{w1} \cdot \hat{B}_{\delta 1}}$$

Beispiel:

Spannungsinduktion in einen Wicklungsstrang



Beispiel: Zwölfpoliger Synchrongenerator: $n = 500/\text{min}$, $2p = 12$, $f = 50 \text{ Hz}$

a) Ständerwicklung: $N_c = 2$, $q = 2$, $W = (5/6) \cdot \tau_p$, $a = 1$, $\tau_p = 0.5 \text{ m}$, $l = 1 \text{ m}$

b) Strangwindungszahl: $N = 2pqN_c / a = 12 \cdot 2 \cdot 2 / 1 = \underline{\underline{48}}$

$$\Phi_{c\mu} \sim \hat{B}_{\delta\mu} \cdot k_{p\mu} / \mu$$

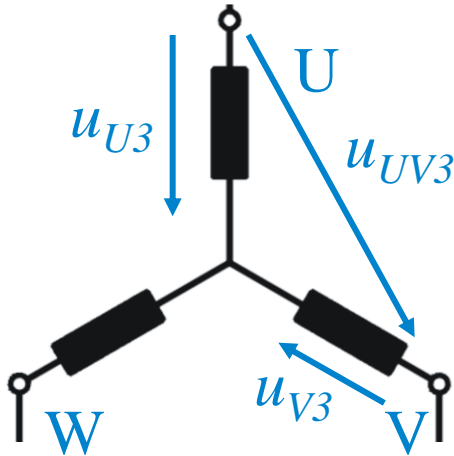
$$U_{i,\mu} \sim \hat{B}_{\delta\mu} \cdot k_{w\mu} = \hat{B}_{\delta\mu} \cdot k_{p\mu} \cdot k_{d\mu}$$

μ	$\hat{B}_{\delta\mu}$	$\hat{B}_{\delta\mu} / \hat{B}_{\delta 1}$	f_μ	$\Phi_{c\mu}$	$U_{i,\mu}$	$ \hat{U}_{i,\mu} / \hat{U}_{i,1} $
-	T	%	Hz	mWb	V	%
1	0.9	100	50	276.7	2850.1	100
3	0.15	16.7	150	-11.3	-254.6	8.9
5	0.05	5.6	250	0.8	11.4	0.4
7	0.05	5.6	350	-0.6	-11.4	0.4

Durch Sehnung $k_{p\mu}$ & Spulengruppe $k_{d\mu}$ werden Spannungsoberschwingungen verringert.



Sternschaltung: Keine „dritte“ Oberschwingung



$$u_{U3}(t) = \hat{U}_3 \cdot \cos(3\omega t)$$

$$u_{V3}(t) = \hat{U}_3 \cdot \cos(3(\omega t - 2\pi/3)) = \hat{U}_3 \cdot \cos(3\omega t) = u_{U3}(t)$$

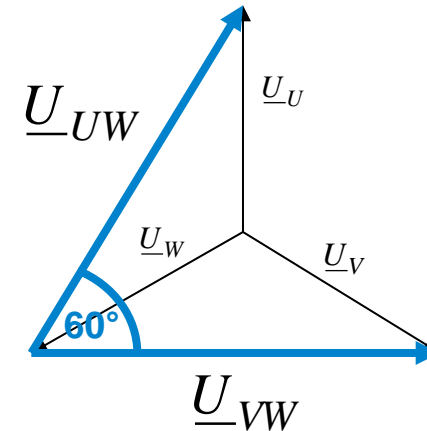
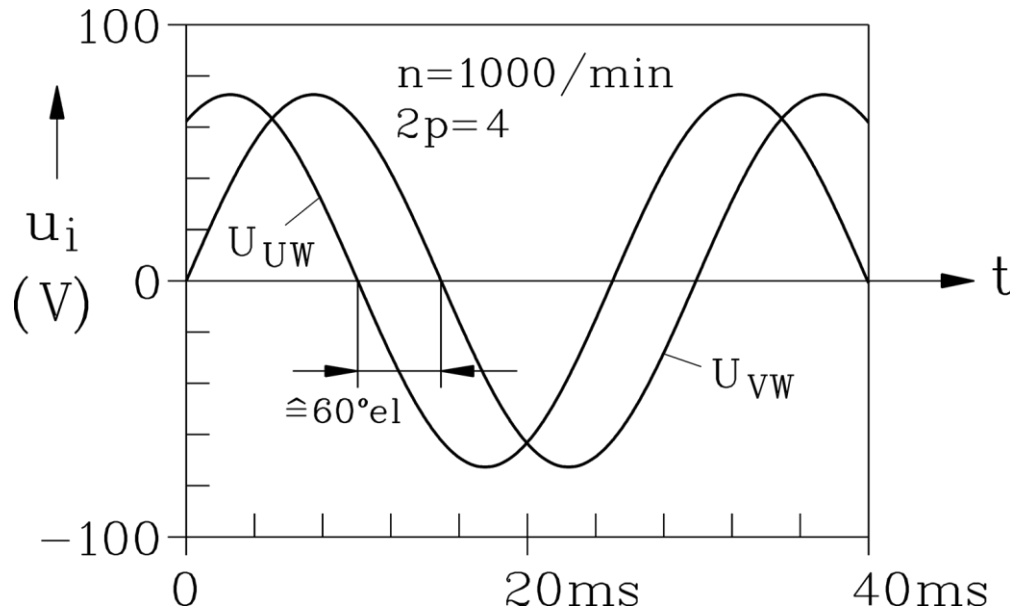
$$u_{W3}(t) = \hat{U}_3 \cdot \cos(3(\omega t - 4\pi/3)) = \hat{U}_3 \cdot \cos(3\omega t) = u_{U3}(t)$$

$$u_{UV3}(t) = u_{U3}(t) - u_{V3}(t) = u_{U3}(t) - u_{U3}(t) = 0$$

- Ständerwicklung in **Sternschaltung**: Dritte harmonische Oberschwingungsspannungen in allen 3 Strängen U, V, W **IN Phase**, und daher **IDENTISCH** !
- Daher enthalten die **verketteten Spannungen** KEINE 3. harmonische Oberschwingungsspannung (auch nicht: 9-te, 15-te, ...).
(Die **harmonischen Strangspannungen** würden Oberschwingungsströme **IN PHASE** treiben).
- Bei **isoliertem Sternpunkt** können diese NICHT fließen
(1. **Kirchhoff-Gesetz**: „Knotenregel“)

$$\underline{I}_3 = \underline{U}_3 / \underline{Z}_3 \Rightarrow \underline{I}_{U3} + \underline{I}_{V3} + \underline{I}_{W3} = 3\underline{I}_3 = 0 \Rightarrow \underline{I}_3 = 0$$

Messung: Sternschaltung: Keine „dritte“ Oberschwingung



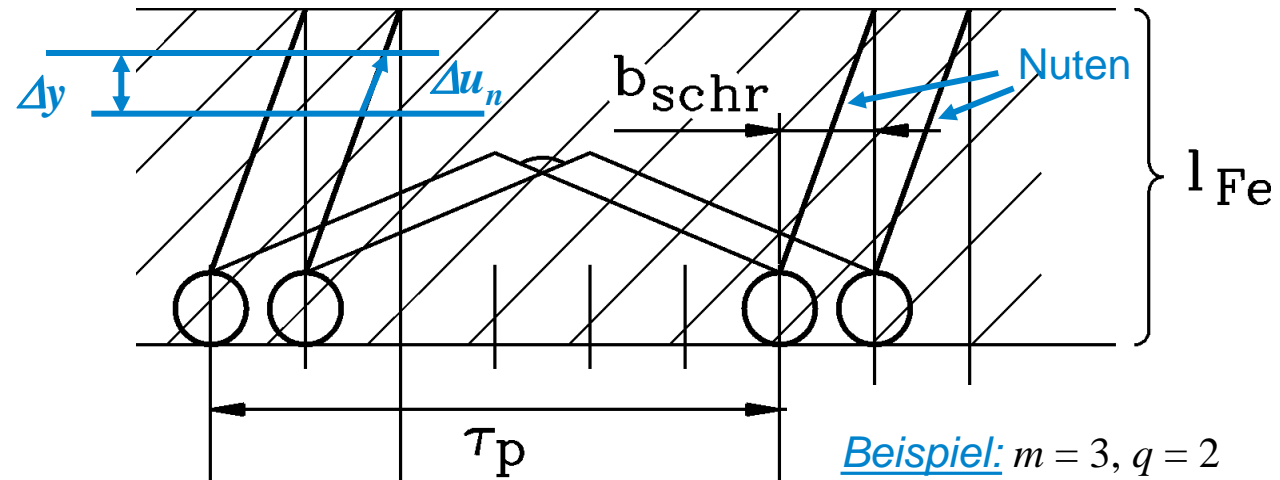
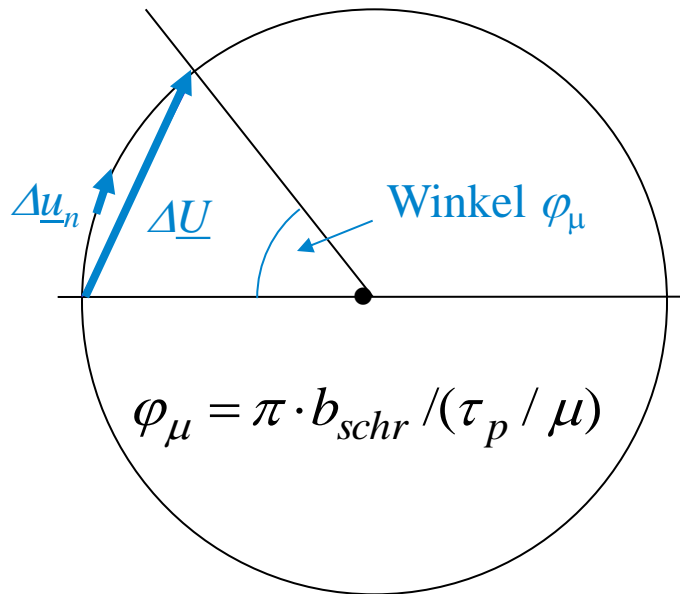
- Gemessene verkettete Leerlaufspannung bei 1000/min:
4-poliger PM-Synchrongenerator, $q = 3$, $n = 1000/\text{min}$, Sternschaltung, geschrägte Nuten:
⇒ **Leerlaufspannung nahezu ideal sinusförmig**
- **Fourier-Analyse** der verketteten Leerlaufspannung: $\mu = 1$: 33.5 Hz, 74.8 V
 $\mu = 5$: 167.0 Hz, 0.34 V
 $\mu > 5$: Amplituden vernachlässigbar klein

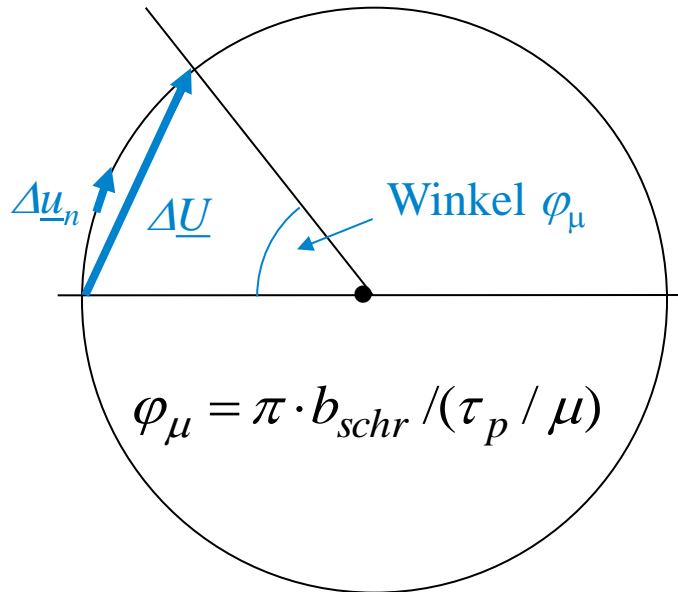
Nutschrägung: Glättet die nut-harmonischen U -Oberschwingungen

Ergänzung

- **Schrägung** der Nuten um das Maß b_{schr}
- Schrägung bewirkt eine Phasenverschiebung der induzierten Spannung in einer Spulenseite am Beginn und Ende bezüglich der μ -ten induzierenden Feldoberwelle um

$$\varphi_{\mu} = \pi \cdot b_{schr} / (\tau_p / \mu)$$





- Resultierende induzierte Spannung ΔU je Spulenseite in einer Nut \Rightarrow
- ΔU ist Summe aller differentiell kleiner Spannungsanteile $\Delta u_n \rightarrow du$ längs der differentiell kurzen Spulenseitenabschnitte $\Delta y \rightarrow dy$

Schrägungsfaktor χ_μ

$$\chi_\mu = \frac{\left| \sum_{n=1}^{\infty} \Delta u_n \right|}{\sum_{n=1}^{\infty} |\Delta u_n|} = \frac{|\Delta U|}{\sum_{n=1}^{\infty} |\Delta u_n|} = \frac{2 \cdot \sin(\varphi_\mu / 2)}{\varphi_\mu} = \frac{\sin S_\mu}{S_\mu} \quad S_\mu = \frac{\mu \pi b_{schr}}{2 \tau_p}$$

Wirkung des Schrägungsfaktors

Ergänzung



TECHNISCHE
UNIVERSITÄT
DARMSTADT

Beispiel: Sechspolige Maschine, Drehzahl 1500/min, 5/6-gesehnte Spulen, $q = 2$, Nutschrägung um eine Statornutteilung: $b_{schr} = \tau_{Qs}$

$$U_{i,\mu} \sim \hat{B}_{\delta\mu} \cdot k_{w\mu} \cdot \chi_{\mu}$$

Läuferfeld: Ordnungs- zahl	Stator- frequenz	Flussdichte- Amplitude	Wicklungs- faktor	Schrägungs- faktor	Induzierte Strang- spannung	Induzierte verkettete Spannung
μ	μf	$B_{\delta\mu}$	$k_{w\mu}$	χ_{μ}	$U_{i\mu}$	$U_{i\mu LL}$
1	75 Hz	100 %	0.933	0.989	100 %	100 %
3	225 Hz	-26.1 %	-0.50	0.900	12.73 %	0
5	375 Hz	7.9 %	0.067	0.738	0.42 %	0.42 %
7	525 Hz	1.2 %	-0.067	0.527	0.05 %	0.05 %
9	675 Hz	-6.0 %	0.50	0.300	0.98 %	0
11	825 Hz	8.0 %	-0.933	0.090	0.73 %	0.73 %
13	975 Hz	-8.0 %	0.933	-0.076	0.61 %	0.61 %

Nut-
harmonisch

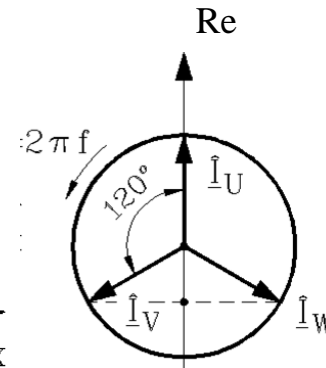
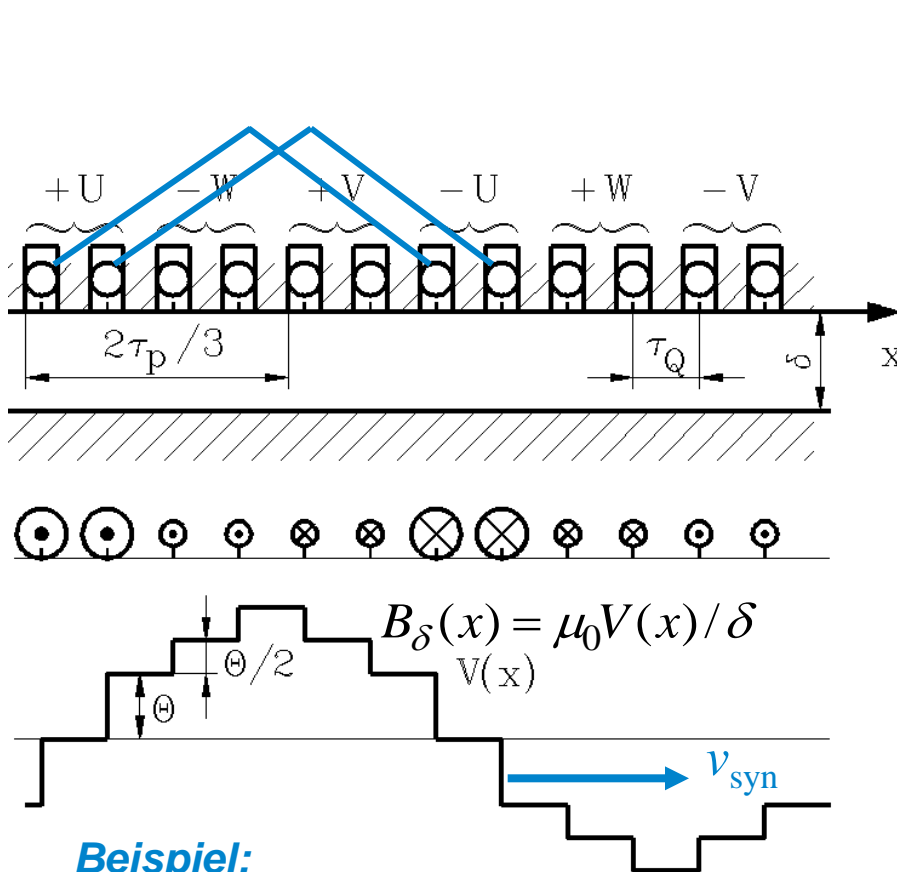


Zusammenfassung: Spannungsinduktion in eine Drehfeldwicklung

- Induktion in gesehnte ruhende Spulengruppen
- Es tritt wieder der Wicklungsfaktor $k_{w\mu}$ auf
- Wicklungsfaktor $k_{w\mu}$, Sternschaltung und Schrägung bewirken nahezu sinusförmige induzierte Stator-Spannungskurvenform, obwohl Rotor-Feldverteilung von Sinusform abweicht!
- Beweis wurde über *FOURIER*-Reihe der Feldverteilung geführt
- Netzspannung ist also deswegen (nahezu) sinusförmig, weil Generatoren eine gesehnte verteilte Y-Schaltungs-Wicklung haben, und nicht, weil das Rotor-Magnetfeld sinusförmig verteilt ist!

4. Spannungsinduktion in Drehstrommaschinen
 - 4.1 *FARADAY*’sches Induktionsgesetz (1831)
 - 4.2 Spannungsinduktion in eine Ständerspule
 - 4.3 Spannungsinduktion in eine Drehfeldwicklung
 - 4.4 **Selbstinduktivität je Strang einer Drehfeldwicklung**
 - 4.5 Gegeninduktivität je Strang zweier Drehfeldwicklungen

Selbstinduktionswirkung durch das magnetische Ständerdrehfeld in der Ständerwicklung



- Das vom Stator-Drehstromsystem \underline{I}_s erregte Stator-Luftspalt-Drehfeld B_δ induziert in die drei Ständer-Wicklungsstränge U, V, W durch SELBSTINDUKTION eine Spannung $U_{i,s}$ mit Statorfrequenz $f = f_s$
- Dieser Spannung wird die Selbstinduktivität $L_{h,gesamt}$ zugeordnet.

Beispiel:

$$m_s = 3, q = 2, W/\tau_p = 1$$

$$\text{Felddarstellung für: } i_U = \hat{I}_s, i_V = i_W = -\hat{I}_s/2$$

$$U_{i,s} = \omega_s \cdot L_{h,gesamt} \cdot I_s$$

Drehfeldwicklung: Selbstinduktion - Hauptinduktivität

- Die Ständer-Luftspalt-Grundwelle $\nu = 1$, erregt vom Ständerstrom I_s , induziert die Ständerwicklung, von der sie erregt wurde, infolge **Selbstinduktion**.

$$B_{\delta,s,1}(x,t) = \hat{B}_{\delta,s,1} \cdot \cos\left(\frac{\pi \cdot x}{\tau_p} - \omega_s \cdot t\right) \quad \hat{B}_{\delta,s,1} = \frac{\mu_0}{\delta} \cdot \frac{\sqrt{2}}{\pi} \cdot \frac{m_s}{p} \cdot N_s \cdot \frac{k_{ws,1}}{1} \cdot I_s \quad m_s = 3$$

- **Ständer-Feldwelle** ist von ω_s -frequenten Strom I_s erregt:
Daher hat induzierte Spannung die **Frequenz f_s** .
- **Effektivwert der induzierten Selbstinduktions-Spannung** je Strang:

$$U_{i,s,\nu=1} = \sqrt{2} \cdot \pi \cdot f_s \cdot N_s \cdot k_{w,s,1} \cdot \frac{2}{\pi} \cdot \tau_p \cdot l \cdot \hat{B}_{\delta,s,1}$$

- **Hauptinduktivität je Feldwelle:** $U_{i,s,\nu=1} = \omega_s \cdot L_h \cdot I_s$

$$L_h = \mu_0 \cdot (N_s \cdot k_{w,s,1})^2 \cdot \frac{2m_s}{\pi^2} \cdot \frac{l \cdot \tau_p}{p \cdot \delta}$$

$$\mu_{Fe} \rightarrow \infty$$

Drehfeldwicklung: Grundwellen-Hauptinduktivität L_h

- **Hauptinduktivität:** Je Strang der Grundwelle $L_{h,v=1} = L_h$ bei $\mu_{\text{Fe}} \rightarrow \infty$:

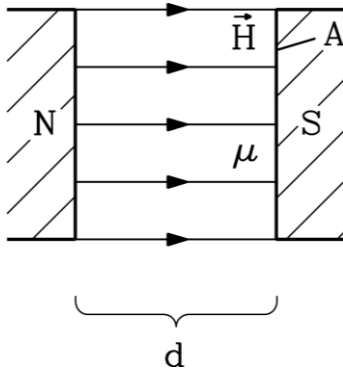
$$L_h = \mu_0 \cdot (N_s \cdot k_{w,s,1})^2 \cdot \frac{2m_s}{\pi^2} \cdot \frac{l \cdot \tau_p}{p \cdot \delta}$$

- **Merkmale:** $L_h \sim \mu_0 \cdot (N_s \cdot k_{w,s,1})^2$

Effektive Windungszahl je Strang: $N_s \cdot k_{w,s,1}$

Magnetische **Reluktanz** („magn. Widerstand“): $R_m = \frac{1}{\mu_0} \cdot \frac{\delta}{l \cdot \tau_p}$

$$L_h \sim \frac{m}{2} \cdot \frac{(N_s k_{ws,1})^2}{R_m}$$



$$R_m = \frac{1}{\mu} \cdot \frac{d}{A} \quad \text{Analogon: Elektrischer Widerstand: } R = \frac{1}{\kappa} \cdot \frac{d}{A}$$

(κ : elektr. Leitfähigkeit)

$$\left(R_m = \frac{V}{\Phi} = \frac{H \cdot d}{B \cdot A} = \frac{H \cdot d}{\mu \cdot H \cdot A} = \frac{d}{\mu \cdot A} \right)$$

Selbstinduktionswirkung aller Ständerdrehfeldwellen

$$U_{i,s} = \omega_s \cdot L_{h,gesamt} \cdot I_s$$

$$U_{i,s} / U_{i,s,\nu=1} = L_{h,gesamt} / L_h > 1$$

- Definition der „Oberfelder-Streuziffer“: $L_{h,gesamt} = (1 + \sigma_o) \cdot L_h$

σ_o : **Oberfelder-Streuziffer** bei $m_s = 3$, $q \geq 1$: Sehr klein: ca. 0.01 ... 0.09

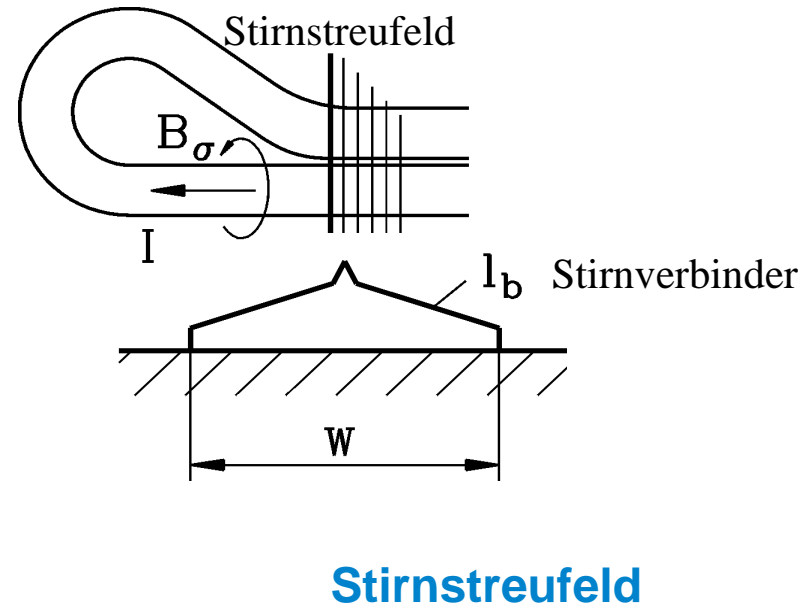
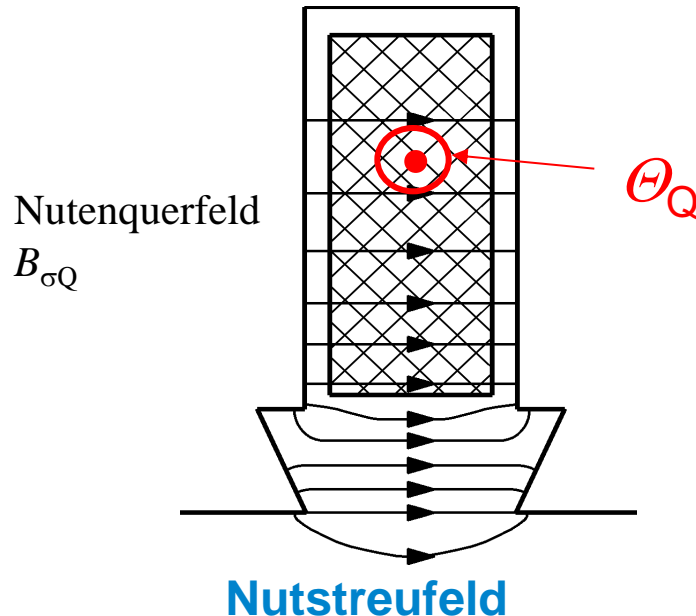
$q > 1$ $q = 1$

- Oberfelder $|\nu| > 1$ sind zwar Luftspaltfelder, aber "stören"; sie werden daher als "Streu"feld betrachtet:

Oberfelder-Streuinduktivität $L_{\sigma,o}$: $L_{\sigma,o} = \sigma_o \cdot L_h \approx (0.01 \dots 0.09) \cdot L_h$

Selbstinduktion: Nut- und Stirn-Streuinduktivität

- Magnetfelder - in den **Nuten** (Nutenquerfeld $B_{\sigma Q}$) und - um die **Stirnverbinder** (Stirnstreufeld B_{σ}) erreichen den Läufer NICHT und können daher dort keine Kräfte und damit keinen Energieumsatz bewirken = **Strefelder (Index σ)**
- Streufelder induzieren in der Ständerwicklung ebenfalls Selbstinduktionsspannungen:
Nutstreufeld $L_{\sigma Q}$, Stirnstreufeld $L_{\sigma b}$: $U_{i\sigma, Q+b} = \omega \cdot (L_{\sigma Q} + L_{\sigma b}) \cdot I_s$



- **Hauptfluss Φ_h :**

Wird aus den **Feldgrundwellen** von Stator- und Rotorfeld gebildet ($\nu = \mu = 1$).

- Nur diese beiden $\nu = \mu = 1$ bilden gemeinsam das Drehmoment M_e , das wegen

a) der Sinuswellenform von Stator- und Rotorgrunddrehwelle ,

b) der gleichen Geschwindigkeit und Polzahl

ZEITLICH KONSTANT ist: $M_e(t) = M_e = \text{konst.}$

- **Oberwellen:** $\nu \neq 1, \mu \neq 1$:

- Oberwellen des Stators ($\nu \neq 1$) werden als Stator-Oberwellenstreuung $L_{s\sigma 0}$ betrachtet, die (nahezu) NICHT zur Drehmomentbildung beitragen.

- Rotoroberwellen z. B. des Läuferfelds der Asynchronmaschine ($\mu \neq 1$) werden ebenso als Rotor-Oberwellenstreuung $L_{r\sigma 0}$ zusammengefasst (siehe Kap. 5).

Streufeld Φ_σ :

- a) Echter Streufeld ist nur mit jeweils Stator- oder Rotorwicklung verkettet
(Nut- und Stirnstreuung $\Phi_{\sigma Q}$, $\Phi_{\sigma b}$):
Feldlinien gehen NICHT über den Luftspalt

- b) „Unechter“ Streufeld: Stator- bzw. Rotoroberwellenstreuung $L_{s\sigma 0}$, $L_{r\sigma 0}$:
Nur deren jeweilige Selbstinduktionswirkung wird HIER berücksichtigt
(Ihre Gegeninduktionswirkung (= „Parasitäreffekt“) wird hier vernachlässigt)

Reaktanzen-Definition in einer Drehfeldmaschine

a) Stator-Streureaktanz:

$$X_{s\sigma} = \omega \cdot L_{s\sigma} = \omega \cdot L_{s\sigma Q} + \omega \cdot L_{s\sigma b} + \omega \cdot L_{s\sigma o}$$

Nutstreueinduktivität $L_{\sigma Q}$

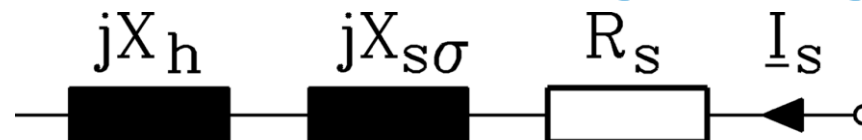
Stirnstreueinduktivität $L_{\sigma b}$

Oberfelder-Streueinduktivität $L_{\sigma o}$

b) Hauptreaktanz: ($m/2$ -Wert des einsträngigen Betriebs)

$$X_h = \omega L_h$$

c) Ersatzschaltbild für einen Wicklungsstrang:



Zusammenfassung: Selbstinduktivität je Strang einer Drehfeldwicklung

- Selbstinduktivität L_s je Strang (z.B.: U) ist wegen der Verkettung mit den anderen beiden Strängen (V, W) eigentlich eine Summe aus Selbstinduktivität L_{UU} und zwei Gegeninduktivitäten M_{UV} , M_{UW}
- Grundwelle $\nu = 1$ führt zur Hauptinduktivität L_h
- Echte Streuinduktivitäten durch Nut- und Stirnstreufeld $L_{\sigma Q}$, $L_{\sigma b}$
- Selbstinduktivität proportional zu Windungszahlquadrat und Flussfläche: $L \sim N^2 \cdot \tau_p l_{Fe}$
- Invers proportional zum Luftspalt δ („magnetischer Widerstand“ $\delta \sim R_m$): $L \sim 1/R_m$

Ab nun: Nur Grundwellenbetrachtung:

$$\nu = 1, k_{ws,1} = k_{ws}$$

$$\mu = 1, k_{wr,1} = k_{wr}$$

Oberwellenwirkung in (kleiner) Oberwellen-“Streu“induktivität $L_{\sigma 0}$ zusammengefasst

- 4. Spannungsinduktion in Drehstrommaschinen
 - 4.1 FARADAY'sches Induktionsgesetz (1831)
 - 4.2 Spannungsinduktion in eine Ständerspule
 - 4.3 Spannungsinduktion in eine Drehfeldwicklung
 - 4.4 Selbstinduktivität je Strang einer Drehfeldwicklung
 - 4.5 Gegeninduktivität je Strang zweier Drehfeldwicklungen

Drehfeldwicklungen in Stator und Rotor

Beispiel:

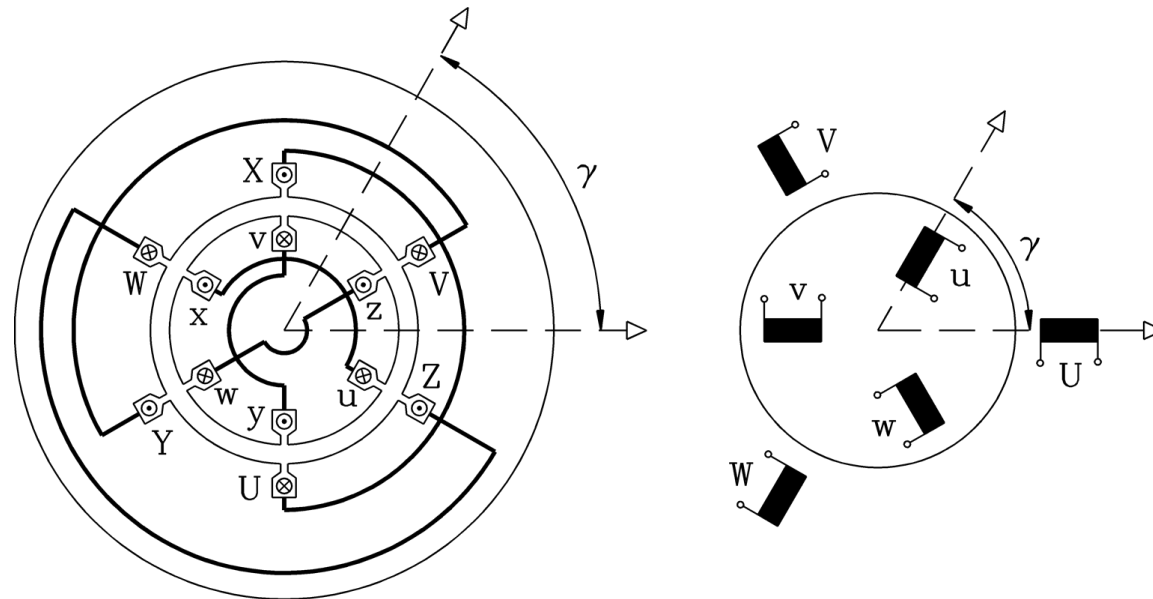
$$m_s = m_r = 3,$$

$$Q_s = Q_r = 6,$$

$$q_s = q_r = 1,$$

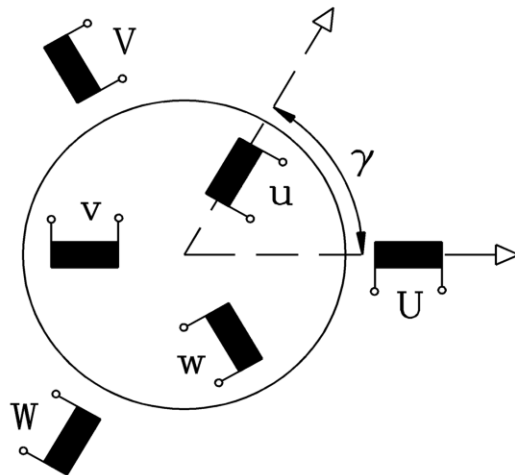
Verdrehwinkel

$$\gamma = \gamma_{el} = 60^\circ$$



- Im Ständer und im Läufer je eine Drehfeldwicklung angeordnet:
 - im Stator: Stränge U-X, V-Y, W-Z, Index s ,
 - im Rotor: Stränge u-x, v-y, w-z, Index r .
- **Rotor** steht still, ist gegenüber dem **Stator** um Winkel γ verdreht (= Winkel zwischen den Wicklungsachsen (Spulenmitten) des Rotors und Stators).
 $\gamma = 2\pi$, wenn der Rotor gegenüber dem Stator um $2\tau_p$ verdreht ist.

Drehfeld-Wicklungsparameter



	Stator	Rotor
Polzahl	$2p$	$2p$
Strangzahl	m_s	m_r
Windungszahl	N_s	N_r
Sehnung	W_s / τ_p	W_r / τ_p
Lochzahl / Nutzahl	q_s / Q_s	q_r / Q_r
Wicklungsfaktor (Grundwelle)	k_{ws}	k_{wr}

- Polzahlen von Stator- und Rotorwicklung sind identisch $2p$, aber Wicklungen i. A. nicht.
- Vermeidung von magnetischen Rastmomenten: $Q_r \neq Q_s$

Gegeninduktivität je Strang zweier Drehfeldwicklungen $s \rightarrow r$

- **Gegeninduktion: Stator-Luftspalt-Grundwelle** induziert in Rotorwicklung:

$$B_{\delta,s}(x,t) = \hat{B}_{\delta,s} \cdot \cos\left(\frac{\pi x}{\tau_p} - \omega_s t\right) \text{ mit Amplitude } \hat{B}_{\delta,s} = \frac{\mu_0}{\delta} \cdot \frac{\sqrt{2}}{\pi} \cdot \frac{m_s}{p} \cdot N_s k_{ws} \cdot I_s \quad \mu_{Fe} \rightarrow \infty$$

- Effektivwert der **induzierten Spannung je Strang** in der Rotorwicklung:

$$U_{i,r} = \sqrt{2} \pi f_r \cdot N_r \cdot k_{wr} \cdot \frac{2}{\pi} \tau_p l \hat{B}_{\delta,s}$$

- Rotorfrequenz f_r (bei **ruhendem** Rotor $n = 0$): $f_r = f_s$.

- **Grundwelle: Drehfeld-Gegeninduktivität je Strang M_{rs}** : $U_{i,r} = \omega_r \cdot M_{rs} \cdot I_s \quad s \rightarrow r$

$$M_{rs} = \mu_0 \cdot N_s k_{w,s} \cdot N_r k_{w,r} \cdot \frac{2m_s}{\pi^2} \cdot \frac{1}{p} \cdot \frac{\tau_p \cdot l}{\delta}$$

Gegeninduktivität je Strang zweier Drehfeldwicklungen $r \rightarrow s$

- **Gegeninduktion:** Rotor-Luftspalt-Grundwelle induziert in Statorwicklung:

$$B_{\delta,r}(x,t) = \hat{B}_{\delta,r} \cdot \cos\left(\frac{\pi x}{\tau_p} - \omega_s t\right) \quad \text{mit Amplitude} \quad \hat{B}_{\delta,r} = \frac{\mu_0}{\delta} \cdot \frac{\sqrt{2}}{\pi} \cdot \frac{m_r}{p} N_r k_{wr} \cdot I_r$$

- Effektivwert der induzierten Spannung je Strang in der Statorwicklung:

$$U_{i,s} = \sqrt{2} \pi f_s \cdot N_s \cdot k_{ws} \cdot \frac{2}{\pi} \tau_p l \hat{B}_{\delta,r} \quad \text{Statorfrequenz } f_s \text{ (bei ruhendem Rotor): } f_s = f_r$$

- Grundwelle: **Drehfeld-Gegeninduktivität je Strang M_{sr} :** $U_{i,s} = \omega_s \cdot M_{sr} \cdot I_r \quad r \rightarrow s$

$$M_{sr} = \mu_0 \cdot N_s k_{w,s} \cdot N_r k_{w,r} \cdot \frac{2m_r}{\pi^2} \cdot \frac{1}{p} \cdot \frac{\tau_p \cdot l}{\delta}$$

$$\frac{M_{rs}}{M_{sr}} = \frac{m_s}{m_r}$$

Anmerkung:

nur bei $m_s = m_r$:

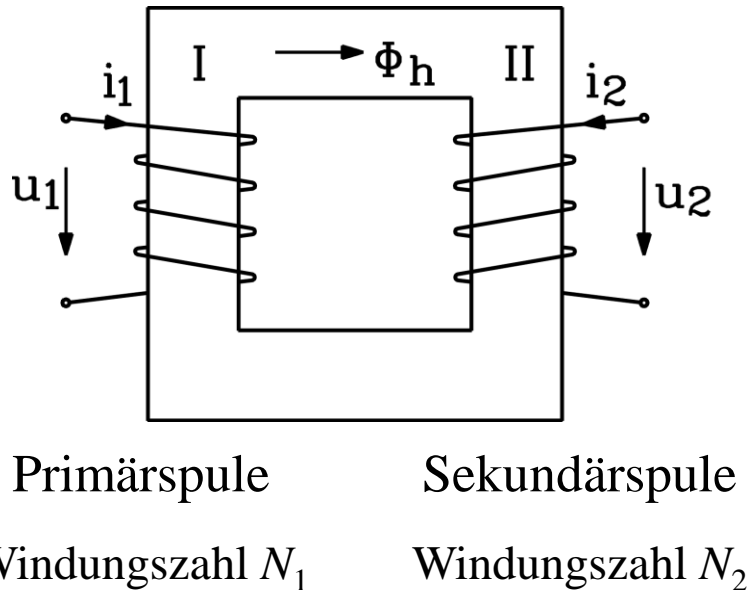
$$M_{sr} = M_{rs}$$

Zur Erinnerung: Konventioneller Transformator

Erganzung

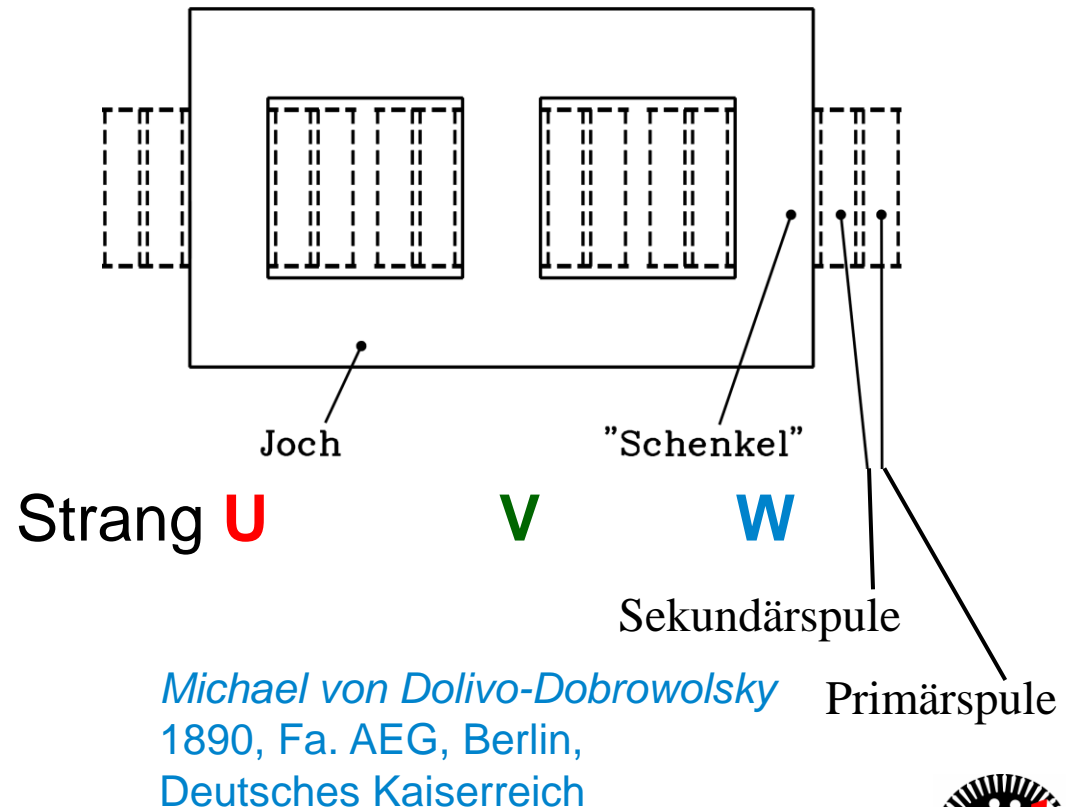
- Galvanische Trennung zwischen Primar- und Sekundarspule = Potentialtrennung!
- Konstantes bersetzungsverhaltnis $\ddot{u} = N_1/N_2!$

Einphasentransformator



Blathy, Deri, Zipernovskyy
1881, Fa. Ganz, Budapest,
osterreich.-Ungar. Donaumonarchie

Drehstrom-Transformator



Michael von Dolivo-Dobrowolsky
1890, Fa. AEG, Berlin,
Deutsches Kaiserreich

Drehtransformator (1)

- Induzierte Rotor-Spannungen sind wegen Läufer-Verdrehung γ gegenüber den Selbstinduktionsspannungen im Stator um diesen Winkel γ **phasenverschoben**.
- **Serienschaltung von Ständer- und Läuferstrang** U und u (ebenso V und v, W und w)
⇒ Man greift zwischen Eingangsklemme des Ständerstrangs und Ausgangsklemme des Läuferstrangs je Strang die Summenspannung ab:

$$\underline{U} = \underline{U}_s + \underline{U}_r = U_s + U_r \cdot e^{-j\gamma}, \text{ z. B. } U_r = U_s: \underline{U} = U_s + U_s \cdot e^{-j\gamma} = U_s \cdot (1 + e^{-j\gamma})$$

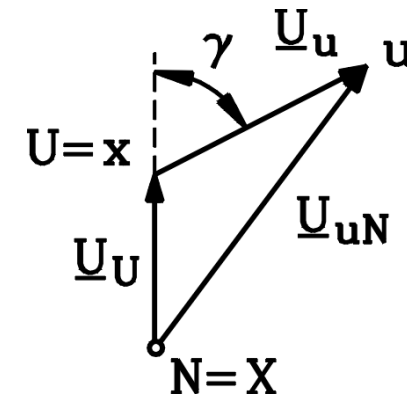
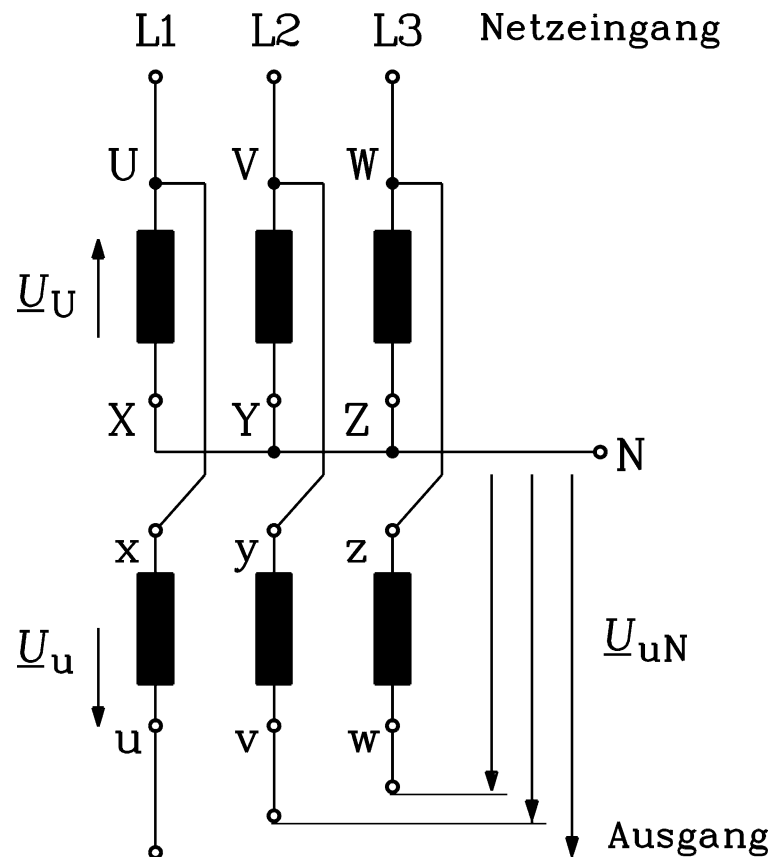
- Verdrehung des Läufers = kontinuierliche Winkel-Änderung γ .
- *Mit dem Drehtransformator kann man **kontinuierlich** zwischen 0 und $2U_s$ die Spannung verändern.*

Drehtransformator (2)

Verdrehung des Läufers = kontinuierliche Winkel-Änderung γ . *Mit dem Drehtransformator kann man **kontinuierlich** zwischen 0 und $2U_s$ die Spannung verändern.*

Nachteil:

Keine galvanische
Trennung!



Zusammenfassung: Gegeninduktivität je Strang zweier Drehfeldwicklungen

- Ständer- und Läuferdrehfeldwicklung induzieren
 - a) sich und
 - b) einander wie bei Transformator
- Nur Grundwellen für Gegeninduktion $\nu = 1$, $\mu = 1$ berücksichtigt
- Gegeninduktivität M proportional zu Windungszahlprodukt $N_s N_r$ und Flussfläche: $M \sim \tau_p l_{Fe}$
- M umgekehrt proportional zum Luftspalt δ („magnetischer Widerstand“ $\delta \sim R_m$)
- Spannungsinduktion wegen Flussverkettung rotorstellungsabhängig
- Anwendung:
Drehtransformator zur stufenlosen Spannungsamplitudenänderung